

28

Bq - 6221-V 1873.

Zr

Mixter W. G.
Spana E. S.

(G)

"Ann. Chim. Pharm"
1873, 169, 388-92

Чицкер

[VII 2431]

1926

γ_2

$\alpha \rightarrow \beta$

C. Zwicker

Physica, 1926, 6, 361

T. превр.

$T_m =$

$= 1860^{\circ}\text{C}$

273

2133°K.

Впервые обнаружил полиморфизм
турмита при изм. темпра - спирометром.

Температура превращения
турмита

$t^{\circ}\text{превр.} = 862^{\circ}\text{C}$

?

BP-907-VII

1927.

Zr

Boer J.H.

"Ind. Eng. Chem"

Tm; TB

1927, 19, 1256-9.

C. Zwirker

1928

Zr?

Fizika (Nederland),
1928, 8, 241-57.

(Давление паров гидроокиси
и ксант. соли на, обзар
паром)

Эксп. данные
no Zr not

$$\lg p = -\frac{A}{T} + B$$

2₂ T = 2000 °K ; T_m 2200 °K

ΔT.объем 14,2 ; B = 9,44

$$\lg p_{min} = -\frac{A}{T} + 9,33$$

Дальн. погрэд T бордых (b-b)

22

De Boer J.H.,

1930

Faast F.D.

P(au)

Z. anorg. Chem., 1930, 187, 193

$$T_m = 1852^\circ\text{C} = 2125^\circ\text{K}$$

Good year of daumre Zwikkerg C

O Sab. naya Zr]

Zr (T_{tr} , ΔH_{tr}) VII 2439 ¹⁹³¹

Vogel R. ~~and~~ Tonn W.,

1. Z. anorg. Chem., 1931, 202.

292-296

ЕСТЬ А. Н.

Circ. 500

Б.

БФ-2439-III | 1931
Форсю, Тонн | VIII-2042
Vogel, Tonn

22

Z. anorg. Chem., 1931, 202, 292

T. превр.
Tendota превр.

T. превращенія 862 °C,

Тенденція превращенія

700 кал/моль

(Гермінеганін III)
анам. . .)

$$\Delta S = \frac{700}{862} = 0,81 \text{ к.е.}$$

VII 4.79

1932

Zr(Ttr)

Burgers W.G.

Nature 1932, 129, 281.

"Crystal structure of B-Zirconium".

Be

Ectw. d. K.

CA., 1932, 2903.

VII 1754

1934

Z₂ (Cp, T₂₂)

Jaeger F. M., Veenstca. W. St.

Rec. trav. chim., 1934, 53, 917-32

C.A., 1934, 5746⁶

есч о.к

б.

Zr

3146

Kurti N., Simon F. 1935

v

Porevskii

Proc. Roy. Soc. London

(A.), 1935, p. 151, 610
P.

130

T.g. Zr (ub.; m)

Zr 1936
2019 De Boer J. H. ~~et~~, Fast J. D.,
Clausing P.

V Recueil. trav. chim.,
Порядок 1936, 55, 450
P.

96 T. Ø. Zr (Tb., 24).

Z_2

(T_{α})

[39]

De Boer J.H., #5, 1936
Fast J.D.

Rec. Trav. Chim.
1936, 55, 459.

$T_{\alpha}(Z_2)$

Сквайр

1940

Z_2

Squire C.F.

Phys. Rev., 1940, 58, 202

qS 298

Температуре газа
~~до 1200°К~~ при низких
температурах

$$\Theta_\infty = (Z_2) = 1900 \text{K}$$

VII 1427.

1941

Zr, Ti (Gp)

Squire C. F., Kaufmann A.R.,
J. Chem. Phys., 1941, 9, 673-77

~~DISCUSSION~~

5.

EOTL sp. H.

vii 3615 1945

Fr (ганс джузекесъ ёсирея)

Alkutt D.B., Scheer C.L.
Trans. Electrochem. Soc., 1945, 88,
10 pp (preprint)

"Zirconium metal, its manufacture,
fabrication and properties".

М.Б.

лекція в Д-ре.

C. A., 1946, 1124

Булдер

14

1949

Z2

Boulder F.W.

$S_{198,16}$

U.S. NTEC Rep. NTEC 2-2796

(1949r.) $S_{198,16} = 6,186$

$G < 98$
T. nr.,
T. предп

$S_{198,16} = 9,18 \pm 0,08$ э. д.

$T. malibensis$ $1830 \pm 40^{\circ}\text{C}$

$T. allotrichus$. $1863 \pm 30^{\circ}\text{C}$

(Todd $9,28 \pm 0,08$)

Zr

Смирнова быв С.В.

1949

Гипсометрия 10. II.

ИСТО, 1949,

19, ~ 5, 606.

Земли не подтверждены
многих  новых расценок
и земли окраине Zr,
Ti, Si



MgO, TiO₂, ZrO₂ (Cp)

VII 920 1950

Arthur J.S.

J. Applied Phys., 1950, 21, 732-33.

The specific heats of MgO, TiO₂, and
ZrO₂ at high temperatures.

Be

CA., 1950, 44, 10480e

Est/F.

Каганук, Канада

1950

Zr, ZrO₂

Coughlin Y.P., King E.G.

ZrN,

VII

ZrCl₄

ZrSiO₄

890 - 868 - 860

Cp

Zr 390 - ~~1100~~ 1371°K

21 м.м.рт.м.с.

$$350 - 1800 \text{ K. } G_p(\alpha) = 6,83 + 1,12 \cdot 10^{-3} T - 0,87 \cdot 10^{-7} T^2$$

$$G_p(\beta) = 7,27$$

Редукция избыточка VII, 50

(Zr)

Брекер (Клин).
(сиреборий)

1950

Брекер оценивает энтропию
излучения чуркона
рассеян $15^{\circ} = 23 \text{ э.д.}$

Принимая $T_{\text{пл.}} = 2400^{\circ}\text{K}$,
находит температуру излучения

5500 кал/моль! Взято по № 133

$T_{\text{пл.}} = 2125^{\circ}$, получаем 4900 кал/моль
(2118) ● (4870 кал/моль)

Kenn N47Z Kelley R. K. | 1950

72

Cp. 97

$$S_{298,16} = 9,28 \pm 0,08$$

(no Todd, 1950)
(53 - 2730 K)

$\phi < 298,16$

$T^{\circ}K$	C_p	(по данным Todd'a)
10	0,03	
25	0,44	
50	2,21	
100	4,44	
150	5,34	
200	5,76	
298,16	6,19	

$$S_{298,16} = 9,28 \pm 0,08 \text{ д.е.}$$

Ti, Zr(Δ Htr, Δ Str)

VII 2107 1950

McQuillan A. D.

Proc. Roy. Soc., 1950, A204, 309-23.

An experimental and thermodynamic investigation of the hydrogen-titanium system.

Be,

CA, 1951, 6033c

err6 φ.K

Todd | BGP - 2781-VII | 1950.

72

Todd S.S.

JAC 8, 1950, 72, 2914

~~Реометрическое измерение~~

Pacific Experiment Station

Bureau of Mines; 2914, 2915, 2916
в интервале 539-2'988 K,

$$S_{510K} = 1,00 \text{ (исходный)}$$

$$S_{298,16} - 510 = 8,28 \text{ измнж}$$

Кодик N477, стр. 97

$$\underline{S = 9,28 \pm 0,08 \text{ з.о.}}$$

D(252/r) / 53 - 1200K, 1%)

Zr

2133

Duwez P.

1957

?

V

Trans. AIME,

Poraykin

1951, 191, 765
P.

12

T. go. Zr (GB., su).

(Ti, Zr, Mo, W, Ta, Nb, V, Hf)

Bp VII 1001.

1951

Everhart J.L.

Materials and Methods 1951, 34, No. 6, 89-104

"Titanium, Zirconium, molybdenum, tungsten,
tantalum, columbium, vanadium, and hafnium as
engineering materials".

Be,

CA, 1952, 867aC T L

H.

VII 711

1951

Hf, Zr, Ti (Tm)

Kroll W.J.

US 2548897 apr. 17, 1951

Melting hafnium, zirconium and titanium.

Be

CA., 1952, 46, N1, 84c

Ky Simeonovskij, Zlavec, 1951

(22)

Kubarshevsky O., Evans E. [cupaborning]
 $S'_{298,16} = 9,3 \pm 0,1 \text{ к.д.}$
 $t_{\text{melt}} = 852^\circ\text{C}; \Delta H = 920 \pm 100 \frac{\text{кал}}{\text{моль}}$
 $t_{\text{m.r.}} = 1860^\circ\text{C}; \Delta H_{\text{m.r.}} =$
 $= 4800 \pm 500 \frac{\text{кал}}{\text{моль}}$
(огенка)

Сп

$$C_p = 6,83 + 1,12T - 0,87 \cdot 10^5 T^{-2}$$

(α) ($\pm 2\%$, 298 - 1135 K)

$$C_p(Z,\beta) = 7,27 \text{ kJ/kmol} (\pm 2\%, 1135 - 1400 \text{ K})$$

Zr - 1252-VII

Skinner, Dawson

1951

Zr

BPP - B

Skinner G.B., Johnston H.L.,
YACB, 1951, 73, 4549

Ferr. 'fl. neop.' b-b up
Kuziluk T-pax. VII PIens.

Zr mondy 14 u 300°K

(14,38 - 298°K) $\beta_{298,15} = 9,29 \pm 0,04$

$\beta_{14°K} = 0,03$ s.e. 3.e.

$H_{298,15} - H_0 = 1313,3$
kcal/mol

T°K	Cp	S	H - H ₀	Cp*
298,15	6,012	9,292	1313,3	4,887
300°K	6,014	9,329	1324,4	4,914
T°K	Cp	T°K	Cp	Аналisis обрезка
14	0,090	150	5,299	0,095 % мес. kg
25	0,489	175	5,525	0,67 % Fe
50	2,212	200	5,691	0,15% C
75	3,609	225	5,824	0,026% N ₂
100	4,460	250	5,918	Boro 0,082% SiO ₂
125	4,986	275	5,981	

Z2
4308

Skinner G. B. 1951

✓

G.P.H.

Ph. D. Dissertation.
Ohio State University,
1951. Diss. Abstr., 1958,
18, 1646.

14

Zr (K, mc), T. of.

Сибирь, Забайкал

1951

Ч.2

(Ta
cнр. 172)

Draw)

Dyakonov

Skinner G.B., Edwards J.W.

Johnston H.L.

JACB, 1951, 73, 174 - 176

Даление насыщ. паров

22 меседь 1949 ± 2054°K

$$\Delta H_0^\circ = 142,15 \pm 0,35$$

Pep. Icyp. Recepta VIII, '18

reac./heat

$$g_{\text{Paru}} = \frac{-31066}{T} + 5,3351 - 2,415 \cdot 10^4 T^{-\frac{9}{20}}$$

T ⁰ K	P(atm).10 ⁻⁹
1949	0,816
1980	1,308
2007	2,124
2029	3,356
2049	4,390
2054	4,920

Перевод в Дашвек
Карбонат и Кислая вода

$$\Delta H_0^\circ = 145050 \pm 150 \text{ кДж/моль}$$

2000⁰K

$$-15,533 + 7,3351 - 0,4830 =$$

$$= -8,681; P = 2,095 \cdot 10^{-9}$$

= 5,319

Adenstadt [BQ-A-900]
1)

1952

$\frac{Zr}{\text{an} \rightarrow}$ MR

Adenstadt H.K., -

Trans. ASU, 1952, 44, 949-973

T. n.v.

$1845 \pm 400^{\circ}\text{C}$

Cp

Темп. плавл. чурчии, №
~~не содержит пришлого~~ пришлого

загрязн., состоящего
 1845°C (2118°K) $1830 \pm 400^{\circ}\text{C}$

$1845^{\circ}\text{C} \pm 25^{\circ}\text{C}$

плотнога! $6,490 \pm 0,001_2$

Dr. Donald Y. Mc Pherson

Макферсон определил

$t^{\circ}\text{нл}$. образца Zr 68Y и Hf 778

T -ра определялась оптич. микрометром,
который измерялся по

$t^{\circ}\text{нл}$. Au, Pt и Yr; температура

измерения $\pm 25^{\circ}\text{C}$

$G(25-100^{\circ}\text{C}) = 6,32$ (литература 6,2%)

Squire, Kaufmann

Hf, Zr (Tm, Cp)

VII 958

1952

Adenstedt H.K.

Trans. Am. Soc. Metals, Preprint No, 1W, 1952,
19 pp.

Physical, thermal, and electrical properties
of hafnium and high-purity zirconium.

Be CA., 1952, 46, N2, 302i

Heinrich Stark

Zr

БФ-895-7
1952
Estermann, Friedberg, Loewman.

J. Estermann, S. L. Friedberg,

J. E. Goldman.

Температур

Phys. Rev. 87, 582-588 (1952)

1.8-4.2°K

Температуръ несвойств
металлов между 1,8 и 4,2°K.

C_p < 298

Измеренъ температуръ в
интервале 1,8-4.2°K. Ni, Ti,
Zr и Cr.

Д

Х

С. л. 1952-108446

Ридмонд 4B-X-3381

1952

(Zr), Li

Redmond R. F., Jones Y.,

U. S. Atomic Energy Comm.,
Natl. Sci. Foundation, Wash.

cp>298

D.C., ORNL-1342, 3-20, 1959

Эксперименты и Генерализация
изотактической стали (316),
циркония и других при
высоких температурах

298
111

C.A., 1953

-11937i

C

На Бузинковском, ледяном калориметре
определенна энталпия Тейлором
и найдена дифференцированная: 91,22

$$C_p = 0,070 + 3,6 \cdot 10^{-5} T_{K}^{1/2}$$

$$150^{\circ}K < T < 1050^{\circ}C \quad | C_p = 6,385 + 3,28 \cdot 10^{-3} T$$

Ошибки $\pm 5\%$ основана на

измерении стандарта

(автор. санктира)

T [°] K	4,64	8,03
500		
1300	4,26	10,65

$$(423 - 1323^{\circ}K)$$

VII 796

1952

Zr, Li(H-H,Cp)

Redmond R.F., Lones J.

U.S.Atomic Enerhy Comm., Natl.Sci.

Foundation, Wash D.C., 1952, ORNL-1342, 3-20

Enthalpies and heat capacities of
stainless stell(316), zirconium, and
lithium at elevated temperatures.

W, 6 F

CA, 1953, 11937i

22

4329

Smith T.S., Daunt J.F.
1952

v

Phys. Rev., 1952,

88, 1172

p.

104

T.g. Zr (mb, m).

~~Domagala~~

VII

3585

1953

Zr (Tm)

Domagala R.F., McPherson

Hansen M. D.J.

J. Metals, 1953, 5, Sec. 2,
Team NQ,

ECTS S.H.

249-283

C.Q., 1953, 2660e

B, Me, Ad

VII 504

1953

Zr (Ttr)

Hayes E.E., Kaufmann A.R.

Zirconium and zirconium alloys. A symposium. Am. Soc. for Metals, 1953, 241-53.

The - transformation in zirconium.

Be

CA, 1953, 1225a

ECT b. H.

Zr (fiz. sv-va)

VII 2320

1953

Muller G.L.

Austral Machinery, 1953, 6, N58,
42-47.

Zirconium.

RX, 1954, N6, 20648

Be, M

Kew f Σ -ke

2r

Russell R.B.

1953

J. Appl. Phys. 1953, 24, 232

Answers to my

T_{tr}

Bp-1983-VII

1953

Zr

Skinner F.B
Johnston H.L.

(Ttr)

"J. Chem. Phys"
1953, 21, N8,
1383-84.

VII 10.19 1953

Tm(Ti, Zr, Hf, Cr, Mo, W)

Szabo Ž.

A. Magyar tud. akad. kem. tud. Oszt.
kozl., 1953, 2, N2, 153-59.

Az atmeneti fémek olvadáspontjáról.

RX., 1955, N15, 31414. Be

ccr6 op.k.

Zr
2091 | Domagala R. F., Mc Person
D.-J. 1954

V Trans. AIME, 1954,
Person | 200, 238
P.

121 T.g. Zr (mb., m).

1959

A-403A

(Ti, Zr, Hf, V, Nb, Ta,
Cr, Mo, W) (Tm)

Benesovsky. F.

Stahl und Eisen, 1954, 74, N4, 210-15.

Nenentwicklungen auf dem Gebiete der
hochschmelzenden und seltenen Metalle.

RX., 1955, N2, 2672

Be

err. φ.K.

PB-I-6678

1954

SP-II-3827

Eisenstein S.

22

R. rev. Mod. Phys. 1954,
26, n3, 244-51

Tkp

VII 1676

1954.

Z₂ (T_{t2})

Gilen J. W., Pugh S. F.

Acta Metallurgica, 1954, 2, n^o 3,

520 - 529.

PNEX, 1955, n^o 18,

40880

5.

VII 998

1954

ZrO₂(P, Hv, Cp, H, Hf, Do)

Zr(Δ Hv)

Hoch M., Nakata M., Johnston H.L.

J.Amer.Chem.Soc., 1954, 76, N10, 2651-52.

Vapor pressures of inorganic substances.
XII. Zirconium dioxide.

RX., 1955, N23, 54617 Be, M, J



VII 1768.

1954

Z₂ (T_{Z₂})

Keeler J.H.

Prod. Engng, 1954, 25, 28,
183-187.

Pueraria, 1956,

1766

5.

22

B9-2800-2

Oriani R. F., Jones T. S. 1954

Rev. Scientific Instruments,
1954, 25, N3, 248

Tm

Anuraphis sp. unplaced
T-p camdyce Tyrodalmix carabae



Durch Zr umgedeutet: $T_m(g) = 1868 \pm 10$

$\frac{1882 + 14}{29}$

$\frac{1871 + 3}{28}$

$\frac{1857 - 11}{27}$

$\frac{1877 + 9}{28}$

$\frac{1849 - 19}{27}$

$\frac{1871 + 3}{28}$

$$\frac{+ 273}{2141^\circ}$$

VII 1566

1954

X₂ (Tm)

forogun C.A., Стробогатова В.И.

Уф. Сектора. гео.-хим. анализа,

1954, 25, 40-80

РХЭ №em, 1956, 1755 5

Zr, Hf (Tb)

VII 729

1955

Alonso-Viguera J.M.,

Rev.industr. y fabril., 1955, 10, N106,
358-60.

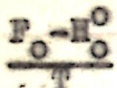
Metales extra-puros.

RM, 1956, 11729 Be

ken f δ-ke

VI 3815

1955



(H, He, Li, Be, B, C, N, O, F, Ne, Na, Mg, Al, Si, P, S, Cl, Ar, K, Ca, Sc, Ti, V, Cr, Mn, Fe, Co, Ni, Cu, Zn, Ga, Ge, As, Sc, Br, Kr, Rb, Sr, V, Zr, Nb)

Katz T.J., Margrave J.L.

J.Chem.Phys., 1955, 23, N 5, 983()

Free energy functions for gaseous atoms
for hydrogen (Z=1) to niobium (Z=41).

PX, 1956, N 4,

9307

10



Ect. 10. 11

Zr | BP-892-VII, VI-4 ; BP-4183-V 1956

Hf, Ti, Ni, Zr, Pt, Jr (Tm)

Deardorff D.K., Hayes E.T.,

J. Metals, 1956, 8, N5, Sec. 2, 509-511

Meting point determination of niobium,
zirconium and titanium.

Zr T.m. $1855^{\circ} \pm 15^{\circ}\text{C}$ / воспроизв.)

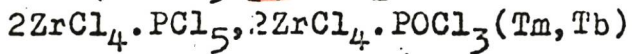
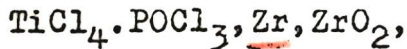
RX, 1957, 3759

Be F

ЕСТЬ Ф. И.

VII 904

1956



de Boer J. H.

1. Ind. Eng. Chem. 19, 1256 (1927)

1259

Circ. 500

Be

lets q-k

Zr

Bq - 1787 - VII

1956.

Kneip g.s
Betterson F.O.

(T_{tr})

"J. Electrochem. Soc"
1956, 103, N12
684-89.

VII 1790

1956

Zn (- (F_T[°] - H_O[°]) / T, H_T[°] - H_O[°], S_T[°], C_P[°])

Kolsky H.G.; Gilles P.W.

J. Chem. Phys., 1956, 24, n⁴,
828-829.

PNR, 1957, 18436

M.

V 6731

1956

Tl, Mu, Zr, Th, Mg, C ugr. (T_t)

Рядышкин И. Н.

Физ. металлов и материаловедения,

1956, 2, №2, 225-236

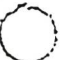
T

H-1701

1956

K; Li; Fr; Rb; Cs; Ba, Ca, Mg, Ra, Sr; U, Th, B,
La, Ce, Pr, Nd, Sm, Pm, Eu, Gd, Tb, Dy, Ho, Er, Y,
Lu; Mn, Tc, Re, Mo, W, V, Nb, Ta, Ti, Zr, Hf; Y, Tm,
Be
(H₇-Ho)

Still S.R., Since G.C.
Amer. Chem. Soc., Washington D.C.,
1956, 233 pp



5

VII 2702

1957

Ti, Zr(Ttr)

Брук Б.И., Николаев Г.И.

Докл.АН СССР, 1957, II6, №I, 78-90.

О возможности применения трития для радио-
графич.исслѣдов.распределения водорода в
титане и цирконии.

RX., 1958, N12, 38901

Be

VII 1440.

1957

Zz (Ttz)

Быков Т.Ф., Розанов А.Н.,
Скоров Д.М.

Амур. Жерлец, 1957, 2, wh,
146-151.

РХЭХ, 1957, 65667

6

Zr

BgP - 565 - VII

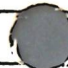
1957.

Carlson O.N., et al.

no reference

"J. Electrochem"

1957, 104, VI, 51-56.



1957

Zr

Чубрансен, Ангро.

Chubransen Zarla Andrew K.
of. Metals, 1957, 8, № 4, Sec. 2,
394-400.

окисление

Окисление циркония в интервале 400-800°

X-58-3-7239

VII-1555

1957

Чп I
Колесар А.Н., Шреднер В.Н.

Чр

Ис. экспедиц. членов группы,
1957, 32, № 1, 184.

Изучение радиационного
~~фазовый~~ превращения а \pm Р γ при наложении
перехода электрического поля катора;

При наложении электрического поля катора
автор наблюдал образование

Х-58-6-16887

β -моногидрат Zr , точка 862°C,
который при окислении превращается
в белый осадок в единственный
минерал.

Ходар А. Г., 1957.

Л2

Иредник В. Н.,
Физ. Материалы и методы
исследования, 1957, 5, № 3,
452 - 464

Превращение $\alpha \rightarrow \beta$ в условиях
по наблюдаемые с помощью
электронного проектора.

X-59-1-228.

1957

Zr,
ZrO₂

Маллетт, Сидрек и Беннетт.
Mallett M.W., Albrecht W.M.
Bennett R.E.

J. Electrochem. Soc. 1957, 104,
No 6, 349-352.

Реакция циркония с водным
паром при давлении выше
атмосферы при охлаждении

X-58-3-7240

VII-5375

1957

Ti; Zr ($H_f - H_o$)

Scott J. Z.

AEC, ONRL - 2328, 1957.

A calorimetric investigation of zirconium, titanium, and zirconium alloys from 60 to 900°C.

Kern N° 584

5

Zr

Bp - 3769 - \bar{x}

1957

Walsh J. H., et al.

(Tr)

Phys. Rev., 1957,
108, 196-216

~~100~~

~~Yonkers~~

Byron Lam 1952

Ti, ~~82~~

Wolcott N.H.

Bsp - 728 - VII

HF

Phil. Mag., 1952, 2, 1246

^{1952.10.20} ~~Acotite~~ ~~Tetraclinite~~ ~~Tubocine~~, Yunno-

HF u. Neptun

Cp 1,2 - 200K

X-58-8-24117

TOK	Cp · 10 ³	TOK	Cp
7,05	1,16	1,5	9,00107
7,93	1,57	2	155
9,11	2,22	3	255
10,00	2,84	4	375
12,15	4,96	5	535
14,27	8,05	6	825
16,25	12,51	7	90157
18,45	19,3	8	884
20,25	26,0	9	970
		10	781
		11	9118
		12	0,180
		13	0,243

Zr
1854

Chupka W. A., Berkowitz J.
Ingram M. G. 1957

Poecilosaura

Argonne Natl. Labor. Rept.

OOK AD 107062, (12 p)

1957

285 ✓

суб
F-X. Zr (mb., m).

~~Fr~~
4222

Scott J. L.

1957

✓

U.S. At. Energy Comm.

Report ORNL-2328.

Dak Ridge, Tennessee,
1957.

21

Zr(κ, m) T. d.s.

VM. 2162;

Ti, Zr, Hf (Cp)

VII 904

1958

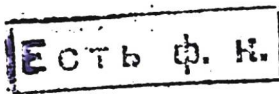
Burk D.L., Estermann J.,
Friedberg S.A.

Z.phys.Chem.(BRD), 1958, 16, N3-6, 183-93

The low temperature specific heats of
titanium, zirconium and hafnium.

RX., 1959, 7460

Be



72

Blumenthal, W.B.

1958

The Chemical behavior of zir-
conium

BU-2

b 658

VII 2063

1958

χ_2 (CP, Tm)

Corsetti C.

Riv. ingegneria, 1958, 8, n. 5,

545 - 548.

PHEX, 1959,
5232

6 neu 8 D-ke

1958

T.B. Douglas and R.C. Victor.
S. X.T., 1958, No 1B, cup 8

\tilde{Z}_2 .

C_P

$273^0 - 1173^0 K$ $\Delta H_{E_2}, 1136^0 K$

Zr
2396 Gibson E. D., Loomis B. A.,
 Carlson O. N. 1958

V Trans. Amer. Soc. Metals,
Poraymuk 1958, 50, 348
p.

133 T. q. Zr (ub, su).

БР - 832 - VII

Dyniae, Виктор

1958

Douglas Thomas B.,

Victor Andrew C.

J. Res. Nat. Bur. Standards,
1958, 61, N1, 13-23

Исследование широконий и
нити образцов различного
состава и пригодность
котии для 0° до 900°

(p) > 258

X-59-10-34148

(22)
22

1958

J. Skinner and H. L. Johnston
5.X.T. 1958, No 1B cup 14

Dr

H_T-H_{298,16}

1000°-2100°K

1958.

Сильверман, Брадшоу

Silverman Louis, Bradshaw.

Analyst. chim. acta, 1958, 18,
no 3, 253-258.

Определение несвязанного кислорода в мышьяковистых
циркониях.

X-17-58-57204

Z₂

Shinnor G.B.

1958

Dissert. Abst.,

1958, 18, 1646

[3755]

H_T 1198

Thermodynamic and structural
properties of Z₂



8,07 7,75
8,80 0,32

8,83 8,07

Зигл обрачн. калор. и энтр. Рече в
калифорнии и сбрас. в море
Калифорнией. $\Delta H_{62} = 1042 \text{ кал/моль}$
 4143°K

Z₂

Blumenthal B.

1959

The Chemical Behavior of Z₂

Xenonrechnen chemischer Verbindungen

Oxford J. Phys., 1959, 81, 4759

VII 2315

1959

Ti, ~~Zr~~ (Ftr)

Kaufman L.,

Acta metallurg., 1959, 7, N8, 575--87.

The lattice stability of metals.I.
Titanium and zirconium.

RX., 1960, 37960 Be

VII 1807

1959

χ_2 (0 Hz)

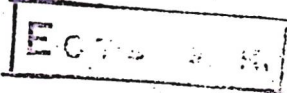
LaGrange L.D., Dykstra L.J.,
Dixon J.M., Merten H.

J. Phys. Chem., 1959, 63, p 12,

2035-2041.

PNR, 1960,
46460

5



VII 1809.

1959

Zr (Tz)

Langeron Y.P., lehrz P.

Mém. scient. Rev. métallurgie,
1959, 56, n° 3, 307-315.

Ржемм, 1960, n° 6,

13351

5.
неч б д-ке

Zr

Фролова Б.Ф.

1959

ИФХ, 33, 1955

ΔH_s

(cell. N₂) I



III.976

1960

Tm, Hf, Hm(Ti, V, Cr, Zr, Nb,
Mo, Hf, Ta, W)

Argent B.B., Milne G.J.C.

J. Less-Common Metals, 1960; 2, N2-4, 154-62.

The physical properties of niobium,
tantalum, molybdenum and tungsten.

RX., 1961, 11B5

Be

Есть ф. н.

VII

2174

1960

Zr, Ti (Ttr)

Cizeron G., Lacombe P.

Mem. scient. rev. metallurgie, 1960, 57, N^o 3,
179-93.

Etude dilatometrique comparee du
zirconium.

RM., 1961, 12/141

Be

ee76 p.k.

1960

ВФ-2409-V

22

Ag, Ni

Р
теплоты
субл.

17Б341. Определение теплот сублимации серебра, никеля и циркония методом радиоактивных индикаторов. Федоров Г. Б. В сб. «Металлургия и металловедение чистых металлов». Вып. 2. М., Атомиздат, 1960, 141—147.—Использовался дифференциальный метод Кнудсена с применением радиоактивных изотопов. Описана установка. Рассчитаны теплоты сублимации: ΔH (кал/г-атом): Ag (с помощью Ag^{110}) при $650\text{--}840^\circ$, $\Delta H = 64\,700$; Ni(Ni^{63}) при $1025\text{--}1280^\circ$, $\Delta H = 84\,000$ и $\beta\text{-Zr}(\text{Zr}^{95})$ при $1100\text{--}1400^\circ$, $\Delta H = 49\,000$. Данные представлены на графиках и таблицах.

О. Г.

+9

ртс. Киселев
1961. 17Б341

VII 1956

1960

7

~~9627~~
Ta, Mo, Re, Zr, C, ZrH_2 (Cp)

Finch R.A.

U. S. At. Energy Comm., NAA-SR-Memo-
-5819, 1960, 26pp

Measurement of resistivity ...

Be

Hem & Ske

Zr

BQ - 2174-VII

1960.

Gizeron G; Lacombe P.

(Tz)

"Mem. Sci., ver. metall."

1960, 57, N3, 179-93



1960

№ 2

8Б492. Влияние легирования на защитные свойства и критическую толщину окисной пленки на цирконий. Коробков И. И., Евстюхин А. И. В сб. «Металлургия и металловедение чистых металлов». Вып. 2. М., Атомиздат, 1960, 93—107.—Проведено электронографич. и кинетич. исследование процессов окисления сплавов на основе Zr при нагревании на воздухе до 300—700°. При нагревании до 575° все исследованные сплавы окисляются с большей скоростью, чем чистый Zr. Значение крит. толщины окисной пленки зависит от состава сплава и т-ры окисления. С увеличением т-ры крит. толщина пленки на всех сплавах растет,

см. н/ск.

а с увеличением кол-ва легирующей добавки наблюдается как уменьшение (при добавлении Sn), так и увеличение крит. толщины окисной пленки (при добавлении Ti). Уменьшение крит. толщины окисной пленки на сплавах Zr с увеличением содержания Sn вызывается, по-видимому, ростом предела текучести сплавов при повышенных т-рах. Увеличение крит. толщины окисной пленки на сплавах Zr с Ti с увеличением содержания Ti связано со стабилизирующим действием окисла Ti, образующего ограниченный твердый р-р на основе куб. ZrO_2 в пленке на сплаве. Малая стойкость сплавов на основе Zr с добавками Ti и Al против окисления связана с растворением ионов Ti^{2+} и Al^{3+} в куб. ZrO_2 , что приводит к увеличению конц-ии анионных дефектов в окисной пленке из ZrO_2 и повышению скорости диффузии ионов кислорода через решетку ZrO_2 .

Резюме авторов

Zr
315^M

Lacombe P., Cizeron F.
1960

✓ Mem. Sci. Rev. metallurg.
Poretskii 1960, 57, 179

97

T.g. Zr (mb., m).

VII 9317

1960

Zr, W (Cp)

Mayers A.

Philos. Mag., 1960, 5, N57, 927-38.

Some elastic and thermal properties
of zirconium and tungsten.

RM., 1961, 4U207

Be

err. q. k.

Zr

1960

G. Skinner, H.L. Johnston

H_T-H_{298.16}, 1000-2100° K

EXT, 1960, v3, cp. 38.

I96I

Zr

Carter W.J.

Sept. I96I, Contract W-7405-Eng-36

Thermodynamic properties of seven
metals at zero pressure.

I

(Ces. Cr; T)

Zr
2435

Goldsmit A., Watermann Th. E., 1961
Hirschhorn H.J.

Poraykučiū

In: Handbook of Thermophysical Properties of Solid Materials, vol. I,
Elements (Melting Temperature above 1000°F), Oxford - L. - N.Y. -
Paris, Pergamon Press, 1961,
p. 235

238

T. x. Zr (kp, m).

V 6729

1960

Al, Ni, Cu, Zn, Ag, Au, Pt, Sn, Cr, Ta, Zr, Mg
Pf
(αT_{fr})

Уралъ B.D.,

Dok. AH СССР, 1960, B1, 542-545

T

VII 2123

CL-ZE (A H)

1961

Brown A., Hardie D.

J. Nuclear Materials, 1961, 1, B 1, 110-1
(North-Holland Publishing Co., Amsterdam)

H

E/ENR 6 19. 8.

VII 2661 1961

B- Zr(p, Δ H_s, H, S)

Федоров Г.Б., Смирнов Е.А.

Сб."Металлургия и металловед. чист. металлов".
Вып.3.М., Госатомиздат, 1961, 34-42.

Измерение парциальных давлений пара циркония
из его сплавов с оловом. Термодинамические
характеристики циркония и его сплавов.

RM., 1962, 7A30 Be, M

еср ср.к.

VII 2016

1961

Zz (Tz2)

Иванов Б. З., Манолова Е. Н.,
Степаненко В. М.

Физ. изучение и изыскания,
1961, 11, к 1, 52-58.

РНЭХ, 1961, № 35350

Б.

VII 1948

1961

kF (T_m), $Z_2 F_4$ (T_m), $kZ_2 F_5$ (T_{E2})
 Z_2 (T_{E2}), $k_3 Z_2 F_7$ (T_m, T_{E2}), $k_3 Z_2 F_1$, T_{m_3}

Голосенова А. В., Корнелев Ю. Н.,
Симанов Ю. Н.

Dokl. AH CCCP, 1961, 139, ч 4,
892 - 894.
РНEX, 1962, 95432
5.

Zr
2249 Fieldhouse I.B., Long¹⁹⁶¹
J.I.

✓

WA32 Technical Report
60-904. Contract No. AF*
33 (616)-6324, Project No.
7381. Armour Research
Foundation July, 1961.
~~Conv. [REDACTED]~~

100

Zr(κ, m) T.d.

VII 4237

1961

Zr (T_{tr})

Верещакин Н.Ф., Семеновский А.А.,

Кузин Н.Н., Пономарев С.В.,

Доке. АН СССР, 1961, 138; 84-85

T

1962

V-3525

Ag(p) Zr(P, δ Hs, H, S)

Fedorov G.B., Smirnov E.A.,

Федоров Г.Б., Смирнов Е.А.

Thermodynamics nuclear materials. Vienna,
(publ. 1962, 285. Discuss. 306.
(publ. 1963))

Термодинам. свойства циркония и его сплавов
с оловом

Be,

F

RM, 1963, 5874

BP-7084-VII; VII 2259 1962
Hf, Zr(Ttr)

Espagno L., Azou P., Bastien P.,

Mem.scient. rev.metallurgie, 1962, 59, N3,
182-88.

Comparaison des systemes hydrogene-hafnium et
hydrogene-zirconium.

RM., 1962, 10U160

Be

etc q.k.

11962

~~TiXAl300~~ Gertsriken S.D., Slyasar B.P.

(Zr.)

Tepzpunk C.D., Anscap B.R.

D. H. T. M. S.
g
z
i
8
a

Determination of the heat
of allotropic transformation
in titanium, zirco-
nium, and the alloy Ti +
+ 6.5% Cr.

Ukr. Fix. Zh. Z, 439-42/1962

C.A. 1962 S7.8

9300g

$$\Delta H_{\text{fz}}(Z_2, \mu_{\text{res}}) = 712 \pm 60 \text{ кэВ/нод.}$$

$$\Delta H_{\text{fz}}(T_i, \mu_{\text{res}}) = 795 \pm 70 \text{ кэВ/нод.}$$

Сравнение дис. Калогрикова [3, 4]
определение ΔH_{fz} T_i, Z_2

3'

1962

Зр

Гурвич Л.Э. и др.

Киев. и

Чигдк.

Москва, 1962

т.Ф.

Термодинамические св-ва инди-
дуальных веществ.

Zr
3025 Klein A. H., Danielson
G. C. 1962

✓ Proc. Black Hills Sum-
mer Conf. on Transport
Phenom., Aug. 1962, Rapid
City, South Dakota. Pa-
per A4, 47-54. ~~CONFIDENTIAL~~

10 Zr(κ, m) T. g.

ZrJ (Cp,Ttr),
Zr(Cp)

VII 9292
1962

Klein A.H., Danielson G.C.,

AEC Accession No 42016, Rept. No NP-14281.
Avail AEC, 1962, 8pp.

Specific heat of zirconium bz a pulse
heating method.

Be, ~~File~~ δ_{re} CA, 1965, 62, N99767d

Zr

отмечена 5609

1962

Федоров 2,5

Меркусог.

Сибирьков Е.А.

СВ-Б9

Симпозиум по меркусог.
и др. речных макрофаунам

Вене, 21-25 марта 1962г.

Меркусогин СВ-Б9 Zr и его связь
с определ.

Zn

1962

J. Skinner, H. Z. Johnston

H_T - H_{298,16}

1000-2100°K

BTR, 1962, N5, cup. 61.

M578-

~~KRAN~~

VII 393

1962

BeO; Be;

Ta, Zr, Mo, Ti, Nb, SiC, BN (A H, Cp)

Walker B.E., Ewing C.T., Miller R.R.
J.Chem.Eng.Data, 1962, 7, 595-7

Specific heat of some high -...

Be,M

F

CA, 1963, 58, N6, 5104e

Есть ф. н.

1963

Р22 Аннин, Струнинов, Ракинъ
 кбр. (Изв. 1963г.)

нб. 368

$$\Delta H_3(22) = 145,4 \text{ ккал/моль}$$

$$\frac{P}{\Delta H_3} = 141,2 \text{ ккал/моль}$$

(no harmonic)

1963

V-3437

Cu, Ti, Zr, Hf, V, Nb, Ta, Mo, W,
Te, Ru, Pd, Os, Ir, Pt, Fe, Ni, Co (Tm, Hv)

Allen B.C.,

Trans. AIME, 1963, 227(5), 1175-83.

The surface tension of liquid transition
metals at their melting points.

Be,

E C T L O. K.
~~CA, 1964, 60, N1, 270c~~

1963

V-3241

Mo, Ti, Zr, Nb, Ta (термодинамич. св-ва
и их соединения)

Герасимов Я.И., Крестовников А.Н., Шахов АС

Химич. термодинам. в цветной металлургии.

Справочное руководство /в 8-ми т./.

Т.3. Термодинамика вольфрама, молибдена, титана, циркония, ниобия? тантала и их важнейших
соединений, Металлургиздат 1963, 283 стр.

RX, 1966, 11Б512 Be, M, J

VII 1294.

1963

Ti(P_{Fe}) ; Zr(P_{Fe})

Jayaraman A., Klement W. Jr.,
Kennedy G. C.

Phys. Rev., 1963, 131, no 2, 644-49.

Prise X, 1964,
55461

5

Bomb opus.

1963

B9-820-VII

22

High-temperature thermodynamic functions for zirconium and unsaturated zirconium hydrides. Thomas B. Douglas. *J. Res. Natl. Bur. Std.* 67A(5), 403-26(1963). Giving greatest wt. to the exptl. measured highest decompr. pressures and the enthalpies in 1-phase fields, thermodynamically interconsistent integral and differential enthalpies, heat capacities, entropies, and Gibbs free energies are derived for the cryst. 1- and 2-phase fields of the Zr-H system for all stoichiometric compns. from Zr to $ZrH_{1.25}$ at 298.15-1200°K. These properties are derived in anal. form and represented by numerical equations, with tabulation for Zr and H/Zr atom ratios of 0.25, 0.50, 0.57, 0.75, 1.00, and 1.25. Most of the unique phase-field boundaries which are consistent with the derived properties are located and are compared with those previously reported. In Zr-H, the enthalpies are shown to relate certain properties at different compns. as well as different temps. Some of the various data show good interconsistency, while others reveal discrepancies which are discussed crit.

C. B. Murphy

C.A.1964.60.7

4516d

1963

Zr

Jayaraman A., Klement W.,
 Kennedy G.C.

Phys. Rev., 1963, 131, №, 644.

T_{tr}

действие переноса в изерзом
 состоянию при высоких
 давлениях в начальне и
 упрко  мед.

X. 1964. 55461

Ti, Zr, Hf (cp) VII 1069 | 1963

Kneip G.D., Betterton J.O., Scarborough J.O.

Phys. Rev., 1963, 130, 1687-92.

Low-temperature specific heats
of titanium, zirconium, and
niobium

Есть оригинал.

CA, 1963, 59, pt. 78a
gp

5

Zr	Roberts B. W., Tittman B., 1963
4016	Hamilton D., Jayaraman A.

V	J. Appl. Phys., 1963,
Poravuvi	<u>35</u> , 723 p.

132	T. gp. Zr (mb, w).
-----	--------------------

1964

New properties of zirconium purified by zone melting in a static ultravacuum. Marc Billion and Jean Paul Langeron (C.N.R.S., Vitry-sur-Seine, France). *Compt. Rend.* 259(25), 4671-4(1964)(Fr); cf. CA 60, 10330f. Zr(HP51), annealed 15 hrs. at 675°, was purified by 6 cycles in the zone melting app. described previously (Bessouat, *et al.*, CA 59, 6040f). The temp. of recrystn. was reduced by 160-5°, and the ratio of elec. resistance ($R_{20.4}/R_{293.6}$) from 50×10^{-4} to 38×10^{-4} . The grain size of the middle surfaces diminished by a factor of 30. The hardness of a 300-g. charge reached equil. at ~ 85 kg./min.²

R. R. Cruse

C.A. 1965.62.8
8786h - 8787a

1964

VII 4236 -

Zr (Tz)

Бразил Н.Б., Борзубург Н.И.,
Н. Эксперим. и теор. физ.,

1964, 46, 1216-1219

T

VII 719

1964

Ti, Zr, Hf (Ttr)

Fisher E.S., Renken C.J.

Phys. Rev., 1964, 135, N2A, ^A482-A494

Single-crystal elastic moduli and the
hcp \rightarrow bcc transformation in Ti, Zr, and
Hf.

E C T B. P. K.

RM., 1965, Be

2U275

1964

26856

THE ELECTRIC CONDUCTIVITY OF PURE
ZIRCONIA BETWEEN 1200°C AND 1750°C. A. Guillot
and A.-M. Anthony (C.N.R.S., Bellevue, France). Rev.
Hautes Temp. Refractaires, 1: 325-9(Oct.-Dec. 1964).
(In French)

The electric conductivity of unstabilized pure zirconia was determined between 1200 and 1750°C under oxygen pressures varying from 1 to 10^{-6} atm. Between 1200 and 1400°C, there is semi-conduction by impurities; and between 1600 and 1750°C, there is conduction by the zirconia itself. Between 1400 and 1600°C, conduction occurs by both processes. (auth)

NSA-1965-19-14

VII 2639

1964

Ti, Zr(Ttr)

Пылаева Е.Н., Волкова М.А.

Сб. "Металловед. титана", 1964, 38-42

Исследов. сплавов тройной

системы

Ti-Al-Zr.

RM, 1965, 3U34

Be

есг6 ср.к.

Zr.

Skinner G, Johnston ¹⁹⁶⁴ N.Y.

5TT, 17, comp. 64.

H_T-H_{298.16} (1000 - 2100 °K)

Zr

1964

4555

Trulson O. C., Goldstein H. W.

"Mass spectrometric study of Zirconium
Dilicide", Techn. Report No C-25,
Unione Carbide Research Institute,
Oct., 1964. Wash.:

Distributed by: Clearinghouse for sci.
and techn. information, U.S. Dep. of
Commerce / N.B.S., Inst. for Appl. Techno-
logy, Washington, 1964.

Pozyskun

105

T.X. Zr (kp, etc).

ZrB_2 (Hv, Hf_{298}),

V 6216

1964

Zr, B (Hv)

Trulson O.C., Goldstein H.W.

AEC Accession No 4100, Rept. No,
AD450678. Avail. OTS, 22 pp, 1964, Mass-spect
roscopic study of zirconium diboride.

M, Be



CA, 1965, 62, N11, 12586f

Ti, Zr, Nb, Ta, Mo, W

VII 988 1964

(Im, Ttr, krist. sv-va)

Wagener H.W.,

Metall, 1964, 18, 718-26.

Reactor metals and refractory metals-titanium
zirconium niobium, tantalum. Molybdenum and
tungsten.

Be, Ml

CA., 1964, 61, N7, 8013f

Hg, Pb, Zr (ClO₄)₄, A-699 1965
As₂O₅, NH₄NO₃, Zr; ZrH₂, Hf,
U, карбиды, нитриды,
бориды и селениды Ti;
Zr, Hf, V, Nb, Ta/ Термодаты.

(cb - ба)

Coughlin J. P.

NASA Accession No, N65-31327

Rept. No AD467028, Avail. CFSTI,

PP 161-8, 1965

Thermodynamic data...
CA, 1967, 67 N4, 15507e

M, 5.

1965

Dr

Doerffer W. W.

МАГАТЭ-ЛОНД. Симпозиум
по периодизации, Берн 22-23
июня 1965 г.

К вопросу о механизме
размножения и дифференциации
микророга в цирконии.

Ti, Zr, W, Pb, Mg, I, Hf, Th, U 1965

in low concentration & aerventur

Melting (ΔH, ΔH_v) 19763 1:

Douglas T.B.,

NASA Accession No. Nb5-31308, 13

Rept. No. AN467028, Avail. CFSTY, pp.5-16

1965.



M, E. (sp)

Zr

Dummer G. (Картергэ) | 1965

Z. Phys., 1965, 186, 249

G

[Чистота Zr > 99,5%]

0,9 - 1,2%

$$\delta = 2,77 \pm 0,03 \quad (\text{н. данные} \quad 2,79 - 2,82)$$

$$\theta_s^{\circ} K = 289,5 \pm 2,5$$

Zr (kp.)

YANAF

1965

T. &

100 - 6000°K

Zz 2888	Jones D.L.,	1968
------------	-------------	------

Kepastasa	Diss. Ph.D., The Univ. of Wisconsin, 1965, 186 pp DA. 1966, 26, p. 5506
-----------	--

43	T. ob. Zz(k, mc)
----	------------------

(Zr)

Корсунский М.И.,
Чекаев Я.Е.

1965

Узб. АН ССР, Нерг. мастер.,
1, N10, 1701

Рентгеновские исследования -
как спектр N6 и Zr и
природа неизвестной
связи этих элементов.

(cell. N6) I

1965

Dr

Loriers H, Dazzas R,
Вади Р.

Магнит-Юр, Симпозиум
по перегородкам, Вена,
22-27 июня 1965 г.

Повышение сопротивле-
ния к окислению
щерокина после добавления
нейтральных соединений углерода,

Zz

4083

Rudy E., Harmon D. P., 1965

Kuzasba

Techn. Rept. AFML-TR-65-2,
part 1, ~~Air Force Materiel Lab.~~, Wright-Patterson
A.F., Ohio 1965

13

T. ob. Zz(k,mc)

1965

Zr

Sara R. V.

B99-1704-VII

J. Amer. Ceram. Soc.,

1965, 48, n 5, 242.

T_{tz}

(Cu-ZrCx)I

1965

A-422

7 w.

Ti, Zr, Hf, Th, C, Si, Ge, Sn, Pb, V,
Nb, Ta, Sb, Bi, Cr, Mo, W, U, Se, Te, Po, Mn, Re,
Ni, Co, Ru, Rh, Pd, Os, Ir, Pt (Tm, Tb, p)

Est/F.

Trombe F., Caro P., Blaise M.

Rev. Hautes Temp. Refractaires, 1965,
2(2), 115-36.

Recent Data on vapor pressure of...

Be, F

CA, 1966, 64, N3, 2765b.

ZrB₂ (Hv, Δ Hf),

✓ 6217

1965

Zr, B (Δ Hv)

Trulson O.C., Goldstein H.W.,

J. Phys. Chem., 1965, 69(8), 2531-6.

Mass spectrometric study of zirconium diboride.

M, Be

CA., 1965, 63, N7, 7745d

VII 2521

1965

Zr, Mg (ΔH)

Tachoire H., Calvet E.,
Skinner H.A., Chastel R.

Trans. Faraday Soc., 1965, 61, N6, 1068-71.

Calorimetric study of the Guminons
energy of combustion of Mg and Zr in
oxygen.

M, ECTB Φ. K. CA, 1965, 63, 5008d

Bartovics

VII

4929

1966

Mu, Ta, Zr, Bi (Tr)

Ganguly B.N., Sinha K.P.,

Indian J. Pure and Appl. Phys.,

1966, 4, N^o 2, 49-56

T

VII 9730

1966

Ti, Zr, Hf(Cp)

Gupta R.P., Dayal B.

Phys. status solidi, 1966, 13, N1, 257-60.

Evaluation of specific heats of
titanium, zirconium, and hafnium.

RX., 1966, 17505

Be

ee76 φ.K

1966

Zz

Superconducting transition temperatures of zirconium and zirconium isotopes. Delbert Merle Jones (Univ. of Wisconsin, Madison). *Univ. Microfilms* (Ann Arbor, Mich.), Order No. 65-10,624, 186 pp.; *Dissertation Abstr.* 26(9), 5506(1966)(Eng).

SNDC

C.A. 1966-65-2

1541 gh

VII 1876

1966

Zz (Fz2)

Jones D.M.

Dissertation Abstr., 1966, 26(9),
5506

Cf, 1966, 65, n2,
1541h

5

1966

VII-6119

Zr

6 Е420. Образование вакансий в цирконии. Канель О. М., Крафтмакер Я. А. «Физ. твердого тела», 1966, 8, № 1, 283—284

Образование вакансий в Zr изучено методом измерения теплоемкости при высоких т-рах (1300 — 2000° К). Измерения проводились модуляционным методом на образцах йодидного Zr в виде лент. Если принять температурную зависимость теплоемкости Zr без учета вклада вакансий в виде линейного ур-ния $C_p = 4,9 + +10^{-3} T \text{ кал/г-ат·град}$, то расчет конц-ии вакансий в Zr приводит к выражению $c = 100 \exp(-1,75 \text{ к}T)$. При т-ре плавления конц-ия вакансий достигает 0,7%.

Cp

оф. 1966. 68

V-5503 1966

Ed, Zn, Sb, Al, Ag, Au (Tm)

Moser H.,

Com. Consult. Thermom., Com. Int.

Poids. Mes., Sess., 7 th, Paris 1964, 71-3:
(Pub. 1966)

Gas thermometric measurements of
Holborn, Day, and Soemmer.

Re

F

CA, 1967, 66, N24, 10849cm

A-988

1966

Me, MeC, MeB₂, SiMeN, MeH₂, nge Si =
Ti, Zr, Hf, Nb, V, Ta (ΔH±)

Polymerized R.A.

K. S. G. K. K. 1966, 40, 11,
134-139. M.



Temp of inc.

13, 13, Tac, NBC; 22 C, HPC, NBC; WC (AKOJO)
VII 4074 1986

Рижников, Я.А.

Уф. АИССР Несправ. материала

1966, 2(6), 953-57

III (9)

ca 1966

γ
Lr
VII-301

1964

43806p Determination of the heat of fusion of zirconium.
V. P. Elyutin, M. A. Maurakh, and G. M. Sverdlov (Mosk.
Inst. Stali Splav., Moscow). *Izv. Vyssh. Ucheb. Zaved., Tsvet.*
Met. 10(2), 87-8(1967)(Russ). The heat of fusion of Zr is
5 ± 0.3 kcal./g.-atom. This value was obtained by using the
following for calcn.: m.p. = 2125°K., α to β phase transition
temp. 1135°K., heat of α - β transition 1040 cal./g.-atom, heat
capacity from 298° to 1135°K. = $6.83 + 1.12T \times 10^{-3} - 0.87 \times$
 $10^5 T^{-2}$ cal./g.-atom degree, heat capacity from 1135° to 2125°K.,
7.27 cal./g.-atom degree, and the heat capacity of liquid Zr
8.0 cal./g.-atom-degree.

Evan N. Davidenko

DH
RP
OH42

C.A. 1968. 68:10

Zr

VII-301

1967

7 Б670. Определение скрытой теплоты плавления циркония. Елютин В. П., Маурах М. А., Свердлов Г. М. «Изв. высш. учебн. заведений. Цветн. металлургия», 1967, № 2, 87—88

$\Delta H_{\text{пл}}$ циркония, равная $5 \pm 0,3$ ккал/г.ат, определена в калориметре с жидким Mg в качестве калориметрической жидкости. В работе применялся иодидный цирконий и циркониевая губка (98,5% Zr). Б. Тимофеев

X. 1968. 7

Fr

1964

Красотинов Г.А.

ГР

Автограферий дис. г. ф.-м.н.
1964, Свердловск.

W, Ta, Mo, Nb, Zr, Pd, Cu, Au (C_P)¹⁹⁶⁷

Краснодарск 3. А., 7 6 VI 6417

Физ. Тр. Ур. РСФСР, 1964, № 1, 37-50

Менделеевъ мегаловъ при био-
химъ температурахъ: отравление
бактерий и 13 разовые переходы
възрастъ рода 5^(P) CA, 1969, № 20, 91390м

VII-72

1987

d-Zr

У 11 Б560. Самодиффузия и диффузия примесей в α -цирконии. Naik M. C., Agarwala R. P. Self and impurity diffusion in alpha-zirconium. «Acta metallurg.», 1967, 15, № 9, 1521—1525 (англ.; рез. франц., нем.)

Приведены значения коэф. диффузии (D_0) и энергии активации (Q) собственной и примесной (Sn, Cr, Ag, V, Mo) диффузии в α -Zr до т-ры фазового превращения, равной 864° , которые оказались существенно ниже предсказанных теоретически. Показано, что столь малые значения D_0 и Q вызваны диффузией материала по линиям дислокаций. Самодиффузия и диффузия примесей в α -Zr по беспорядочно ориентированным линиям дислокаций количественно оценена по теории случайных блужданий.

Р. Хайкин

X-1988-11

28 ommucor # - 945 1967

Olette M. M; et al.

(P_{ΔH_v})

Ride, 1967, 22 N 130

213-215

Zr

4084

Rudy E., Progulski 1967
y*

V

Provinz

Planseeberichte für
Pulvermetallurgie,
1967, 15, 13

98

T. g. Zr (ub., w)

Ti, Zr, Re, W, (z (C_p, ΔZ, K_p)

VII 152 1962

Рузинов Л.П., Веселов Г.Н., Дубинин Г.Н.,

Рузинова Е.А.

Узб. РИ СССР. Неорг. индустрия, 1962, № 3, № 2,
410-412

Справочник по термодинамике огнеупоров
диффузионного насыщения из газовой и паровой
фаз.

РИИ Кур., 1962
216569

10 5, M ④

Бар - 3896 - VII

1967

7
24

11 E1326. Атомная теплоемкость циркония между 300 и 1700° К. Vollmer Otmar, Braun Martin, Kohlhaas Rudolf. Die Atomwärme des Zirkons zwischen 300 und 1700° K. «Z. Naturforsch.», 1967, 22a, № 5, 833—834 (нем.)

Для измерения использовался адиабатич. калориметр; погрешность результатов 2%. Характер температурной зависимости теплоемкости Zг сходен с таковым у Ti. Теплоемкость Zг линейно растет с т-рой перед фазовым превращением (1155° К) и после него. В точке превращения теплоемкость скачком уменьшается от 33,0 до 27 дж/г-атом·град. Определены значения энталпии и энтропии.

Л. П. Филиппов

09. 1967. 118

Kr

BP-3896 -VII

1967

7022w Atomic heat of zirconium between 300 and 1700°K.
Otmar Vollmer, Martin Braun, and Rudolf Kohlhaas (Univ.
Cologne, Ger.). *Z. Naturforsch.*, A 22(5), 833-4 (1967) (Ger).
The heat of phase transition of Zr at 1070 to 1200°K. is temp.
dependent. Jehudah Eliassaf

DH

C.A. 1968. 68. 2

Zr
976

Староскина Т. С., Судоров А. Н., 1967
Акиччин П. А., Карасёв Н. М.

Родионов

Узб. АН—СССР, ~~Л~~.

Неорганическая, 1967,

3 с. 727

145 V

суда
о-х Zr (таб., 2а)

χ_2

10 m. 19590 /
18357

1968

Braun et., Kohlhaas R.,
et al.;

C_p , T_{cr} ,
 ΔH_{cr} , T_m ,
 ΔH_m ;

Z. angew. Phys., 1968,
25, N° 6, 365-372.

Канел, Крафтмакер | 1968

Kanel, O. M.

Kraftmacher Aa. A.

№ 4

Gp

500-1300°K

БТТ, 1968, № 11; 36 ср.



Ti, Zr, V, Cr, Mn, Fe, Co, Ni, Cu, Ag, Au 1968

(C_p , ΔH_{dr}) 7 6 $\sqrt{16} 209$

Braun M., Kohlhaas R., Wollmer D.,

Z. Angew. Phys., 1968, 25(6), 365-72.

High-temperature calorimetry of
metals.

15

B (P)

CA, 1969, 20, W12, S1325n

1908

Zr

Федоров Т. Б.; Смирнов З. А.

Физико-химический эксперимент, № 1.
54-56.

Cp,

20 - 600° C

1103 G

i //

Получение и изучение
смесей циркония и Zr.

(ис. II) I

Lamm. 4992

1968

Zr (w)

Koch R. A.

Anable W. R.

P

M.S. Bur. Mines, Rep. In-
vest., N 7063, 22 pp.

(See Mo) I

74
L2
559

Костиков В. Н., Маурах М. А.,
Митин Б. О., Деников Г. И.,
Свердлов Г. И.

V

Родзякский

"Высокотемпер. материалы";
Сб. 49, Московский институт
стали и сплавов АН ССР.
"Металлургия", № 1, 1968, 106.
суп.

41

т.п. Zr (Tb, He).

VII 3817

1968

Zr (gegenwart D₂), ZrD⁺

Madyski A., Smeltzer W.W.,

Mater. Res. Bull., 1968, 3, n^o 4, 369-375

U



cert q.R

Zr

B90 - 754 - XVII

1968

3 Б925. Масс-спектрометрическое исследование высокотемпературной диффузии урана в вольфраме и аллотропное фазовое превращение в цирконии. Schweigler E. C., Jr, White F. A. A mass spectrometric investigation of the hightemperature diffusion of uranium in tungsten and the allotropic phase transition in zirconium. «Int. J. Mass Spectrom. and Ion Phys.», 1968, 1, № 2, 191—208 (англ.)

сразу же
превращ

С помощью четырехступенчатого масс-спектрометра исследована диффузия урана в вольфрамовой проволоке и рубидия в циркониевой проволоке. Тонкая проволока материала предв. насыщалась др. элементом, после чего измерялась скорость выделения р-ренного ме-

х. 1974 № 3

талла при высокой т-ре при неизменной толщине проволоки. Найдено, что коэф. диффузии D между 1970 и 2730° для U в W описывается ур-ием $D = (1,80 \pm 1,05) \cdot 10^{-2} \exp(-93,0 \pm 6,5 \text{ ккал} \cdot \text{моль}^{-1}/RT)$. Для диффузии Rb в α -Zr между 760 и 863° $D = (1,17 \pm 0,73) \cdot 10^2 \exp(-61,0 \pm 0,3 \text{ ккал} \cdot \text{моль}^{-1}/RT)$, после прохождения через т-ру превращения $D = (1,30 \pm 0,80) \cdot 10^{-2} \exp(-41,5 \pm 0,8 \text{ ккал} \cdot \text{моль}^{-1}/RT)$. Для β -Zr в диапазоне $880 - 1030^\circ$ $D = (8,80 \pm 2,90) \cdot 10^{-4} \exp(-36,7 \pm 0,6 \text{ ккал} \cdot \text{моль}^{-1}/RT)$. Предположено, что необычно низкое значение энергии активации в β -Zr связано с крист. дефектами, вызванными фазовым переходом. Разобраны преимущества и пределы применимости нового масс-спектрометрич. метода определения диффузионных параметров примесных элементов.

Г. Л. Апарников

Bp - 454 - XVII

1968

Zr

Ti

64484d' Mass-spectrometric investigation of the high-temperature diffusion of uranium in tungsten and the allotropic phase transition in zirconium. Schwegler, E. C., Jr.; White, E. A. (Dep. of Nucl. Eng. and Sci., Rensselaer Polytech. Inst., Troy, N.Y.). *Int. J. Mass Spectrom. Ion Phys.* 1968, 1(2), 191-208 (Eng). The diffusion rates of U in W between 1970° and 2730° were measured using a mass spectrometric technique. In this temp. range the diffusion coeff. of U in W followed the relation $D = (1.80 \pm 1.05) \times 10^{-2} \exp(-93.0 \pm 6.0 \text{ kcal. mole}^{-1}/RT)$. The mass spectrometer was used to detect the allotropic phase change in Zr by measuring the change in activation energy for the diffusion of Rb in Zr at 760-1030°. To measure the diffusion coeffs., thin ribbons of the solvent metals, each of which

CIA · 1968 · 69 · 14

contained a low concn. of solute material as an impurity, were used as high-temp. thermal ion sources in a mass spectrometer. The mass spectrometer was utilized to detect the time variation of the solute ion beams from these ribbons for various temps. From these data the desired diffusion coeffs. were calcd. using the Fick's law soln. for impurity evapn. from a thin plate. The activation energies were found from plots of the natural logarithm of the diffusion coeffs. vs. inverse temp. There is less error in this method than in classical diffusion measurements. 21
references.

JDJN

Zr
1049 | Фёдоров Г. В., Смирнов Е. А., 1968
Михлин Н. А., Калинин П. Н.

Родник

МС. приз. хим., 1968,
дт, 42, 3.

V
36δ

. Т.х. Zn (^{судж.} Tb, m).

Dr 1047 1968
Фёдоров Т. Б., Смирнов
Г. А.

V Азовское море,
Ровесник 1968, № 25, 54

70 T. sp. Dr (Tb, 26)

Zr

1969.

Leo Brewer, Gerd Rosenblatt.

"Adv. in High Temp. Chem."

1969, 2, I-83.

A Hf^c
293

OCT 22 1962

Zr
1811

Chang Y.A.

1969

V
Porawskii

J. Less-Common Metals,
1969, 17, 325

129

T.g. Zr (ub; w).

Zr

Steckera S.

1969

ΔH_{aq}

NASA Tech. Note,

NASA - TN - A - 5093,

19 pp.

(cell. 25) I

Zr
Li7

Арутюнов А. В.

1970

✓ Абнорец. дис. на соискание
~~учен. степени канд. техн.~~
наук. Мечта, 1970 (Мос-
ковский государственный
университет).

119

T. sp. Zr (шв, си)

C, Tm, Mn, Re, Zr, Ti(H) ~~etc.~~ 1970

Bowersox D. S., + 14 VII 6200

U. S. At. Energy Comm., 1970, ZA-
4559, 9pp (and.)

Enthalpies of solution of
selected elements in several
liquid metal solutions.

Ar (P) 10

CA, 1971, 75, N14, 918826

Fr

1970.

Teguogua
cb-fa

Bsp - 6238-VII

Margrave J.L., High Temp.-High
Pressures, 1970, 2NN6, 583-586.

1970

Zr

Мартыненко Т. Н.

стм;

Н. Гри. Киселев,

акт

1970, 44, № 2, 325.

№

(ав. II) Г

Mo, Nb, Ta, Zr, W, C, MgO, $(\Delta H,$
NbC, ZrC, TaC, SiC, TiB₂, $C_p, T_{tr},$)

1970

ZrO₂, $\Delta H_{tr})$ VII 535;

Исследование А. Е., Чеховской В. Я.,
Университета Е. Е.

High Temp. - High Pressures,

1970, 2, № 1, 1-15 (авг.)

Исследование методом высоких температур
и высоких давлений при высоких темпера-

F@30 CA, 1971.74 MG, 80465W

Z7
1616

Bonnell D.W., Valega A.J.,
Margrave J.L. 1971

✓ Abstracts, American Chem.
Soc. meeting, Washington,
~~D.C.~~, 1971.
second. ~~transl. Calif.~~ ?

120.

T.p. Zr' (416; u)

Zr
1903

Collings E. W., Ho J. C.
1971

V
Porcine

Phys. Rev. B, 1971, V4, 349
P

105

T.g. Zr (sub, m)

Ag, Zr (P)

76 VII 6020 1971

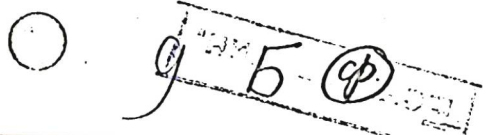
Федоров Г.Б., Калинин П.И.,
Смирнов Е.Я., Иванов К.В.

ДН. физ. химии, 1971, 45, N5, 1218-1219

Влияние степени разреженности и состава
основных газов в рабочем камере на
давление пара металлов и сплавов

РНКиМи, 1971

195803



Zr
1055

Филатов А. И., Горячак 1971
Р. Г.

V

Инженерно-физический
журнал, 1971, № 1, 561

Горячакий

38

т. д. Zr (тв., м).

Zr

YANAF

1971

(Reference State) Tagg

100-6000%

Zr
(Crystal) JANAE
Lugg

1971

100-1500 °K (1966)

100-3000 °K (1966)

(Liquid) 100-3500 °K
(1967)

Чу (SГаг б Чигаз) VII 6366 1971
7

Роскова А.Н., Данишин В.Н., Яценко С.П.

Ж. физ. хим., 1971, 45, №, 2157-60
(русск.)

Периодические свойства
разбавленных растворов
чирковых в глине.

Илр(Ф)

CA, 1972, 76, 12, 7337t

Coegenerneue, V, Nb, Ta, Ti, (ΔGf,
Zr, Hf, Sc, Y. ΔHf,
ΔSf) + 8 1971
VIII 6070

Wagman D.D., Evans W.H., Parker V.B.,
Halow I., Bailey S., Schumm R.H.,
Churney R.Z., '20

Nat. Bur. Stand. (U.S.), Tech. Notes
1971, № 250-5, 37pp (ann.)

Selected values of chemical thermodynamic properties. Tables for elements 54 through 61 in the standard order of arrangement (ann. opusum) CA 1971, 75, N 8, 541925

Carabornuk

Cd, Ti, Pb, Te, V, Cr, Zr, Nb, / VII 65! 9. 1971
Mo, Hf, Ta, W, Re, Os, Ir, Pt. (Sag, SH)
распределение элементов
ионных мебаллов

Андреев С. Г., Аникин Ю. А.,

Изв. физ. хим., 1971, 45, N 8, 1942-5 (рус.)

Определение теплоемкостей смесей,
основанное на данных по распределению
в расплавленных
сплавах.

B

B

ca, 1972, 46, N 6, 28531 S

Zr
1224

Ackermann R. J., 1972
Rauh E. G.

V
Poragueú

High Temp. Sci.,
1972, 4, 272
P. .

123

R. g. Zr (ab, m)

Zr
1226

Ackermann R.J., Raugh E.G.
1972

J. Chem. Thermodyn.,
Рогачукъ
1972, 4, 521
P

15

V

T.X. Zr (mb, m)
судя.

Zr

onmucu 282D
Ackermann R.J.

1972

Rauh E.B.

(P; ΔH_v) "J. Chem. Thermodyn"
1972, 4, N4, 521-32.



(cu. Th ; I)

ommited 603 1972

ZY

Bonnell D. et al.

T_m, C_p
ΔH_m

Radiation and
Conduction loss...
Preprint 1972

Zr
1617

Bonnel D.W., Valverga A.J.,
Margrave J.H. 1972

✓

Poraykoń

Radiation and Conduction
corrections to free-drop calo-
rimetric data.
Department of Chemistry Rice
University, Houston, Texas,
77001, 1972.

91

T.g. Zr (Tb., m).

Zr

Duceppmawis 1972

Bonnell D. W.

C_p, T_m, AH_m

Property measurement
of cement B at high
temperature

Levitation calorimetry
studies of liquid
metals

Zr
297

Толубаев Н.В., Михалевская
Г.Ю., Павлова Н.Н.

104
105

Родионов

~~Вестник Моск.^{МГУ} Ун-та. Сер.~~

Хим., 1972, 13, 206
с.

25

✓

субн.
T.X. Zr (TB, NC).

Zr
2162

Eichler A., Gey W. 1972

V
Porzum

Z. Physik, 1972,
251, 321
S.

131

F. gr. Zr (üb.; zu)

Зн

) 10 Б760 Деп. Влияние кислорода на давление пара циркония. Федоров Г. Б., Калинин П. И., Иванов К. В., Баринов И. П. Всес. и.-и. и конструкт.-технол. ин-т природн. алмазов и инструмента (ВНИИАЛМАЗ), М.-ва станкостроит. и инструмент. пром-сти. М., 1972. 7 с., ил., библиогр. 11 назв. (Рукопись деп. в ВИНИТИ 22 дек. 1972 г., № 5228-72 Деп.)

1972.

(Р)

Интегральным вариантом метода Кнудсена с использованием радиоактивного изотопа цирконий-95 измерено давл. пара циркония над его сплавами в системе цирконий — кислород в интервале т-р от 1000 до 1800°. Измерения проводились в безмасляном вакууме от 10^{-8} мм и хуже, полученным с помощью электрозарядных насосов. Во время проведения экспериментов постоянно фиксировались: степень остаточного разрежения в рабочей камере, спектральный состав остаточной

атмосферы с помощью измерителя парц. давл. ИПДО-1 с латчиком омегатроном РМО-4С и содержание внедренного кислорода в образцах циркония. Автореферат

X. 1973. № 10

Er
667

Мартынюк М.М., Чанков
В.Н., Ганимбеков Гүл О.Г.
Каримходжадеъ Н.

V

Розынин

"Исследование физических свойств
металлов методом измерительного
шарикса", Университетский библиотека
шародов им. Г. Кызылбек, Караганда,
Физика, №, 1972

118

T. ф. Er (m. b., m).

802336 Zirconium vaporization from an open surface. Golubtsov, I. V.; Mikul'skaya, G. Yu.; Pavlova, L. M. (USSR). *Vestn. Mosk. Univ., Khim.* 1972, 13(2), 206-10 (Russ). A new app. was built to study the vaporization of β -Zr at 5×10^{-5} - 3×10^{-8} torr and 1150-2050°K. This app. is composed of a high temp. heating unit, pumping system, and 2 mass-spectrometers type MSKh and IPDO. Comparison of results with previous thermodynamic data and their crit. evaluation are given. The rate of evapn. in these measurements differs by a factor of 10 and the heats of vaporization range from 49-145 kcal/mole. Some of these discrepancies are ascribed to the presence of impurities or to insufficient heat treatment of specimens in vacuum. In this study specimens 50×5 mm in size, with thickness 65μ were irradiated in a reactor by slow neutrons to a sp. radioactivity of ^{95}Zr equal to $20 \mu\text{Ci/g}$, and placed after purification in

the vaporization cell of the described app. All specimens passed through a long heat treatment in vacuum. The partial pressures, free energies of vaporization, free energy functions, and heats of vaporization from these measurements are tabulated. At 10^{-8} torr the heat of vaporization ΔH_T was 32.2 kcal/g atom at 1373-1703°K and 131.7 kcal/g atom at 1743-2063°K. At 10^{-6} torr, the heats of vaporization were 37.5 kcal/g atom at 1473-1818°K, and 141.5 kcal/g atom at 1873-2103°K. At 10^{-5} torr, the heat of vaporization at 1482-1755°K was 39.4 kcal/g atom and at 1872-2008°K, 142.5 kcal/g atom. Jiri Becvar

Tony Sykes

C.A. 1972. 44. 12

1972

72

Hf

10596u Analyses of phase diagrams and transformations at high temperatures by electrical measurements. Hoerster, H.; Kauer, E.; Kettel, F.; Rabenau, A. (Philips Forschungslab., Aachen G.m.b.H., Aachen, Ger.). *Colloq. Int. Cent. Nat. Rech. Sci.* 1972, No. 205, 39-46 (Fr). App. is described for studying chem. reactions and phase transformations at high temps., that is based on measurement, as a function of time, of the elec. resistance (R) changes of refractory metals ohmically heated by passage of a continuous current or by the fast discharge of capacitors. Temps. are measured pyrometrically in the case of const. temp., and photoelec. after suitable calibrations in the case of rapidly changing temps. The Ta-TaC_x system ($x = 0-0.95$) at 2450°C was studied by reacting a Ta ribbon in flowing (10 l./sec) CH₄ at 10⁻² torr. For $x = 0-0.7$, the change in R was proportional to x . The limiting soly. corresponded to $x = 0.07$, and the max. in R corresponded to the phase β -Ta₂C. The temp. (1200-1900°K) of the $\alpha \leftrightarrow \beta$ phase transition of Zr increased with increasing O concn. in the Zr. The enthalpy for the $\alpha \leftrightarrow \beta$ transformation of Hf (contg. ~4% Zr) at ~2090°K was $\Delta H = 0.52$ kcal/mole.

(+1)

X

C.A. 1973.79 n2

Zr

annua 3597

1972

T_m, ΔH_m
C_p; ΔS_m

Margrave J. L.

Colloq. Int. Cent. Nat.

Rech. Sci., 1972 N°205,
41-4

Thermod. properties of
liquido metals.

272

1972

Макуловская Т.Ю.

Санкт-Петербургский гос.

г. Р.Н., 1972, МГУ

№, Р

1972

dr
1 E523. Зависимость энтропии плавления или теплоты плавления металлических элементов от их кристаллической структуры. Sawamita Hiroshi. The relation between the entropy of fusion or the heat of fusion of the metallic elements and their crystal structure. «Trans. Jap. Inst. Metals.», 1972, 13, № 4, 225—230 (англ.)

AS (T_m)
Построены зависимости энтропии плавления от температуры плавления металлов с использованием данных, опубликованных в 1960 г. Приведены уравнения прямых линий, на которые достаточно хорошо укладываются данные для большинства металлов с ОЦК- и ГЦК-решетками (прямые почти параллельны). Результаты, полученные для металлов с ГПУ-решеткой, укладываются на две парал. прямые — одну для металлов с относительно

рф же

-73-1

(+4)



низкой (до 900°C) $T_{\text{пл}}$, другую, сдвинутую на 0,5 кал/град·моль и совпадающую с прямой для ГЦК-металлов,— для элементов с более высокой $T_{\text{пл}}$. Плавная зависимость ΔS ($T_{\text{пл}}$) рассматривается как доказательство идентичности структуры расплавов всех металлов, обладающих одним типом решетки в твердом состоянии. Результаты, полученные для Zr, V, Ti, Mn, Eu, обладающих в твердом состоянии решеткой ОЦК, ближе к прямым, описывающим поведение ГЦК-металлов, чем ОЦК, на основании чего высказано предположение о принадлежности этих металлов к группе ГЦК при высоких t -рах. Высказаны также предположения о возможном типе решетки металлов, структура которых экспериментально не определялась. Е. Спектор

1973

Zr

9 Е434. Исследование кинетики аллотропического $\alpha \rightarrow \beta$ -превращения в цирконии различной чистоты.
Га́ббер Р. И., Харитонова Ж. Ф., Ажа-
жа В. М., Вьюгов П. Н., Великодиная О. А.
«Физ. металлов и металловедение», 1973, 35, № 4,
863—865

(T_{tr})

Изучено затухание упругих крутильных колебаний на частоте 5 Гц в образцах Zr в температурном интервале 845—880° С. На температурной зависимости внутренне-го трения в области $\alpha \rightarrow \beta$ -превращения (П) имеются 2 пика, связанные с П и процессами возврата и ре-криSTALLизации после П. Определено изменение ампли-туды a/a_0 крутильных колебаний со временем t . В об-разцах Zr зонной плавки наблюдалась гиперболич. за-

ф. 1973 № 9

вистимость $\frac{a}{a_0}(t)$ независимо от величины прикладываемых растягивающих напряжений ($\sigma = 0 \div 93$ г/мм²). В йодидном Zr при $\sigma = 90$ и 115 г/мм² зависимость $\frac{a}{a_0}(t)$ была экспоненциальной, при $\sigma = 0$ — гиперболической.

Экспоненц. зависимость $\frac{a}{a_0}(t)$ связывается с нормальным, гиперболическая — со спиральным механизмом роста зародышей новой фазы при П. И. Р.

Zr

Bonnell & M.

1973

J. L. Margrave

"Синтез. по груз- ходу TEXA.

высоких темпер.
1000 - 4000°K.

(Cp; ΔHm)

3-7 сеня., 1973, Бена, Oberlaus
зачет VIII, CTP 105-III.

1973

Zr

Superconductivity and magnetic
susceptibility of α and ω modi-
fications of titanium and
zirconium.

(Птз)

Degtyareva V.F.

Fiz. Tverd. Tela (Leningrad)

1973, 15(11) 3436-8 (Russ.)

C.A. 1974. 80

N10



/Cu Ti; I

of Fe(Fe)
(mb, m, 243) Kullus Beznauva T.A. 1973
Hultgren J. et al.

m. op. Selected Values of the
Thermodynamic Properties
to 5000°K of the Elements U.S. Ohio,
ASM, 1973, p. 575.

Zn Убайдова А. Н. 1995

"H. gray. decolor"

1973, 44, № 2, 445-4.

Fig. op.

Расщепление между оп "S_{298,15}

металл.

an.RB; I

1973

d-Zr

10 Б881. Окисление циркония при высоких температурах. Kettel F. The oxidation of zirconium at high temperatures. «Philips Res. Repts», 1973, 28, № 3, 219—244 (англ.)

изучено
Измерением повышения т-ры в ходе процесса и методом высокоскоростной киносъемки при начальных т-рах 1000—1400° К и давлениях O_2 20—700 мм изучен процесс окисления Zr-проводок диам. 0,1 мм. На начальных стадиях окисления, когда р-ция протекает адиабатически, она лимитируется равновесием процесса адсорбции O_2 на Пв Zr, имеет энергию активации 38 ккал/моль при парц. давлении O_2 20 мм и 33 ккал/моль при 100 мм. Аррениусовская зависимость сохраняется до т. пл. Zr. Порядок р-ции по O_2 равен 1/2. В области т-р от 1700° К до т. пл. при высоких

Х.

1974 N 10

(41) 220₂ □

парц. давлениях O_2 на Пв содержатся фазы α -Zr и ZrO_2 , а при низких давлениях — α -Zr. При т-рах выше т. пл. Zr проволока распадается на капли диаметром 200—400 мкм; т-ра капель повышается до постоянной величины, к-рая определяется парц. давлением O_2 . На 2-й стадии окисления при давлениях >10 мм вокруг капель образуются короны из тв. продуктов р-ции, диам. к-рых превышает диаметр капель на 40—180 мкм. Предполагается, что при этом на Пв капли реагирует парообразный Zr, к-рый образует ZrO_2 . Э. Г. Раков



XVI-1299

1973

Zr

Martynyuk, M.M. et al.

Zh. Fiz. Khim.

1973, 47, N5, 1308-9.

$H_T^o - H_0^o$

(T_m)

• (cur. T_i ; I)

1973

Zr

(Tzr)

119245e Zirconium. Phases and compressibility to 120 kilobars. Olinger, B.; Jamieson, J. C. (Los Alamos Sci. Lab., Univ. California, Los Alamos, N. Mex.). *High.. Temp.-High Pressures* 1973, 5(2), 123-31 (Eng). The compressional behavior of Zr metal in both its hexagonal close packed α -phase and its hexagonal ω phase was studied with x-ray diffraction techniques. The data are in excellent agreement with stock-wave studies and Bridgman's studies up to 98 kbar when Zr was found to undergo a phase transition from α to ω .

C.A. 1973. 79 n20

Zr

1973

(ΔH_{tr})

Ф. 1974
N 7

7 E574. Полиморфный переход в цирконии при высоком давлении. Пантелейчук О. Г. В сб. «Анализ соврем. задач в точн. науках». М., 1973, 130—132

Методом импульсного нагрева исследован α — β -переход в Zr в диапазоне давлений до 15 кбар. Образец Zr (99,99%) в виде проволочки помещался в камеру высокого давления типа цилиндр—поршень и нагревался импульсом тока. Величины напряжения и тока фиксировались на импульсном осциллографе. Осциллограммы табулировались и обрабатывались на ЭВМ с целью получения зависимости относит. электросопротивления Zr от его мольной энталпии. О фазовых переходах судили по изломам на кривых таких зависимостей. Показано, что α -фаза перегревается относительно т-ры равновесия на $\sim 50^\circ$. Полученный наклон dT/dP равен $-2,12$ град/кбар; значение $\Delta H^{\alpha \rightarrow \beta} = 4,4$ кдж/моль хорошо согласуется с известными данными.

В. Зильберштейн

1973

Zr

(Tzr)

163326t Polymorphic transition in zirconium at high pressure. Panteleichuk, O. G. (USSR). *Analiz sovrem. zadach i tehn. naukakh* 1973, 130-2 (Russ). From Ref. Zh., Fiz., E 1974, Abstr. No. 7E574. Title only translated.

C.A. 1975, 82 n 24

1973

Zr

(P, ΔH_v)

52550a Determination of the vapor pressure of pure zirconium by suspension melting. Sulin, V. V.; Peizulaev, Sh. I. (USSR). *Zh. Fiz. Khim.* 1973, 47(6), 1604 (Russ). The satd. vapor pressure of liq. Zr was measured by the Langmuir method of suspension melting at 2322–400°K. Mean values of the d. and heat of evapn. of Zr in the temp. range studied are 5.73 ± 0.08 g/cm³ and 145.6 ± 0.4 kcal/g atom, resp.

Karel A. Hlavaty

C.A. 1974. 80. N10

Zr

1973

Storms Edmund R.
Giffin James.

"High Temp. Sci"

1973, 5, n 4, 291-310.

(see: ZrCx; T).

40528, 4526

MGU, Ph, Me¹,
TC

29422 04

Zr (4Hv)

1974

2165

Bonet C., Hernandez D., Daguenet M.,
Dumargue P. Étude thermodynamique de
l'évaporation réversible d'un oxyde réfrac-
taire dans un plasma thermique oxydant.

"High Temp.-High Pressur.", 1973, 5, N 4,
413-420

(франц.)

097 101

ВИНИТИ

Zr

Bykov V.N.

1974

(Tb)

Splavy Redk Met
Osobymi Fiz Svoistvami
Mater Vses Sovetsk
1971 (Pub. 1974) 156-8 (Russ)

● (cu Ti; I)

Zr

* 4-7962

1974

(C_p)

4 Е339. Одновременное измерение теплоемкости, электропроводности и интегральной полусферической излучательной способности методом импульсного нагрева: цирконий от 1500 до 2100° К. Cezairliyan A., Righini F. Simultaneous measurements of heat capacity, electrical resistivity and hemispherical total emittance by a pulse heating technique: zirconium, 1500 to 2100 K. «J. Res. Natl. Bur. Stand.», 1974, A78, № 4, 509—514 (англ.)

Измерения проведены для образца 99,98% Zr в форме тонкостенной трубки. Погрешность измерений теплоемкости $C_p \sim 3\%$, уд. электрич. сопротивления $\rho \sim 2\%$ и интегральной полусферич. степени черноты $\epsilon \sim 5\%$. Результаты описываются ф-лами: $C_p = 36,65 - 1,435 \cdot 10^{-2} T + 6,624 \cdot 10^{-6} T^2$ дж/г-атом·град, $\rho = 87,95 + 1,946 \cdot 10^{-2} T$ в 10^{-8} ом·м, $\epsilon = 0,2031 + 6,362 \cdot 10^{-5} T$, где T — абс. т-ра.

Ф. 1975. № 4

Zr

(C_p)

XUS-7962

1974.

177888u Simultaneous measurements of heat capacity, electrical resistivity, and hemispherical total emittance by a pulse heating technique. Zirconium 1500 to 2100°K Cezairliyan, A.; Righini, F. (Inst. Mater. Res., Natl. Bur. Stand., Washington, D. C.), *J. Res. Natl. Bur. Stand.*, Sect. A, 1974, 78(4), 509-14 (Eng). Simultaneous measurements of heat capacity C_p , elec. resistivity ρ , and hemispherical total emittance ϵ of Zr in the temp. range 1500 to 2100°K by a subsecond duration, pulse heating technique are described. The results are expressed by the relations: $C_p = 36.65 - 1.435 \times 10^{-2} T + 6.621 \times 10^{-6} T^2$, $\rho = 87.95 + 1.946 \times 10^{-2} T$, $\epsilon = 0.2031 + 6.362 \times 10^{-4} T$.

C_p is in J mole⁻¹ degree⁻¹, ρ is in $10^{-8} \Omega$ m, and T is in Kelvin. Estimated inaccuracies of the measured quantities are: 3% for C_p , 2% for ρ , and 5% for ϵ .

C.A. 1974.81v26

* U - 8234

1974

Zr (g)

Kohl F. J.; Stoarns C. A.

(P)

High Temp. Sci

Danube

1974, 6 NY, 284-302

no sebelle

HO

Zr

(Tcr)

100

XIV

100 - 5841 - XIV

Martyryuk M.M. 1974
Karimkhanzhaev T.

Zh. Fiz. Chim 1974, 48(5)
1243-5 (Russ)

(au Cu; I)

1974

Zr

Hf

(ΔH_{fr})

ЗГ317. Электросопротивление и энталпия тугоплавких металлов в состоянии, предшествующем их электрическому взрыву. Мартынюк М. М., Каримходжаев И., Цапков В. И. «Ж. техн. физ.», 1974, 44, № 11, 2367—2373

Проволочные образцы Zr, Hf, Nb, Mo, W и Pt нагревались мощными импульсами тока; по осцилограммам тока и напряжения на образце рассчитывалась зависимость относит. сопротивления R/R_0 (R_0 —сопротивление образца при 298° К) этих металлов от их мольной энталпии $H = H_t - H_{298}$. При длительности импульса $t_3 = 400-500$ мксек образцы разрушались вскоре после плавления, при $t_3 = 30 \div 35$ мксек наблюдался заход в область жидкого состояния до т-р, намного превышающих т-ру норм. кипения металла. По кривой $R/R_0 - H$ определены R/R_0 и H твердой и жидкой фазы при $T_{пл}$, а также в начальной точке электрич. взрыва T_3 ; определена теплота полиморфного превращения Zr и Hf. Для Zr, Hf, Nb, Mo при нагреве в воде ($t_3 = 30 \div$

мульс.

(4) жадъ



(4)

ΔHf(Hf)

φ. 1975 №3

$\div 35$ мксек) от $T_{\text{пл}}$ до T_3 значение R/R_0 практически постоянно, и уд. сопротивление этих металлов зависит линейно только от их объема. Для Zr, Nb, Mo, W и Pt произведена оценка т-ры T_3 , которая приближенно отождествляется с критич. т-рой T_k ; значения критич давления этих металлов оценены экстраполяцией кри-вой давления насыщенного пара до полученных значе-ний T_k . При импульсном нагреве в воздухе ($t_3 = 30 \div 35$ мксек) для жидкого состояния наблюдался «про-вал» R/R_0 , что объясняется влиянием разряда, шунти-рующего образец.

лаз

1974

Zr

3 ГЗ17. Электросопротивление и энталпия тугоплавких металлов в состоянии, предшествующем их электрическому взрыву. Мартынюк М. М., Каримходжаев И., Цапков В. И. «Ж. техн. физ.», 1974, 44, № 11, 2367—2373

(дН)

Проволочные образцы Zr, Hf, Nb, Mo, W и Pt нагревались мощными импульсами тока; по осцилограммам тока и напряжения на образце рассчитывалась зависимость относит. сопротивления R/R_0 (R_0 —сопротивление образца при 298° К) этих металлов от их мольной энталпии $H = H_t - H_{298}$. При длительности импульса $t_3 = 400-500$ мксек образцы разрушались вскоре после плавления, при $t_3 = 30-35$ мксек наблюдался заход в область жидкого состояния до т-р, намного превышающих т-ру норм. кипения металла. По кривой $R/R_0 - H$ определены R/R_0 и H твердой и жидкой фазы при $T_{пл}$, а также в начальной точке электрич. взрыва T_3 ; опре-

Ф. 1975 № 3

+5

18

делена температура полиморфного превращения Zr и Hf.
Для Zr, Hf, Nb, Mo при нагреве в воде ($t_3 = 30 \div 35$ мксек) от $T_{пл}$ до T_3 значение R/R_0 практически постоянно, и уд. сопротивление этих металлов зависит линейно только от их объема. Для Zr, Nb, Mo, W и Pt произведена оценка т-ры T_3 , которая приближенно отождествляется с критич. т-рой T_k ; значения критич. давления этих металлов оценены экстраполяцией кривой давления насыщенного пара до полученных значений T_k . При импульсном нагреве в воздухе ($t_3 = 30 \div 35$ мксек) для жидкого состояния наблюдался «провал» R/R_0 , что объясняется влиянием разряда, шунтирующего образец.

прот

Zr (α Hf $_r$, Th $_r$)

1974.

Мартынюк М.М.

Чапков В. Н.,

Изв. АН СССР. Сер. геологии,
1974, (2), 181-8.

Не более ср.

C.A.1974.81 n 8. 40645 t.

Zz

1974

Margrave J.-L.

ΔH_m

$H_T - H_0$

(C_p)

Nuel Sci Abstr. 1974,
30(10) 26427

(ave Ti; T)



40508.6052

TE, Ph, Ch

Zr (?) 40892 22
Zr⁺ (?) (ΔHv)

1974

2098

Sasaki Noriaki, Kubo Kenji, Asano Mitsu-
ru. Thermal ion emission from some tran-
sition metal carbides heated on graphite
filament. "J. Chem. Phys.", 1974, 60, N4,
1575-1577 0106 НКИ
(англ.)

086

087

0 93

ВИНИТИ

74-9374

1975

Zr

⑤

11 E644. Термодинамическое исследование $\alpha \rightarrow \beta$ -превращения в цирконии при импульсном нагреве. Sezairliyan A., Righini F. Thermodynamic studies of the $\alpha \rightarrow \beta$ phase transformation in zirconium using a subsecond pulse heating technique. «J. Res. Natl. Bur. Stand.», 1975, A79, № 1, 81—84 (англ.)

Проведены измерения т-ры и теплоты $\alpha \rightarrow \beta$ -превращения Zr, а также электросопротивления Zr в окрестности этого превращения. Образцы Zr чистотой 99,98% (основные примеси O, Hf, Fe, C, H, Al, N, Ni, Si и Ti) изготовлены в виде трубок длиной 76,2 мм; наружный диаметр трубок 6,3 мм, толщина стенки 0,5 мм. Наружная поверхность для уменьшения потери тепла, связанных с тепловым излучением, отполирована. Нагрев осуществлялся пропусканием через образец импульсов тока длительностью от 220 до 620 мсек. Скорость нагрева изменялась в пределах от

100

ф. 1975 № 11

1800 до 4000 град/сек. Все эксперименты проводились в вакууме 10^{-5} мм рт. ст. Для определения т-ры образца использовался высокоскоростной фотоэлектрич. пиromетр. Все измеряемые величины (сила тока, падение напряжения на образце и т-ра) регистрировались цифровыми приборами через каждые 0,4 мсек. Т-ра $\alpha \rightarrow \beta$ -превращения оказалась равной $1147 \pm 10^\circ$ К, теплота превращения 3980 ± 200 дж/моль. Фазовое превращение сопровождалось уменьшением электросопротивления Zg на 17%. Проведено сопоставление полученных значений т-ры и теплоты превращения с результатами предшествующих исследований.

В. Зильберштейн

скур

чи,

ЛЧ

* 05-11162

1975

10 В31. Измерение температуры плавления, температуры излучения (при температуре плавления) и электрического сопротивления (выше 2100° К) циркония методом пульсирующего нагрева. Cezairliyan A., Righini F. Measurement of melting point, radiance temperature (at melting point), and electrical resistivity (above $2,100$ K) of zirconium by a pulse heating method. «Rev. int. hautes temp. et réfract.», 1975, 12, № 3, 201—207 (англ.)

С применением метода пульсирующего нагрева проведено изучение т-ры плавления, т-ры излучения в точке плавления и сопротивления металлич. Zr при т-рах $>2100^{\circ}$ К. Измерение т-ры осуществлялось оптич. пирометром, все исследования выполнены в вакууме или Ag

X 1976 N10

на образцах, имеющих форму пластин или трубок. Т-ра плавления Zr (измерение на 3 образцах с чистотой 99,98 %) 2128° К, т-ра излучения в точке плавления 1940° К и нормальное спектральное излучение Zr 0,367 (при 650 нм). Электрич. сопротивление Zr при т-рах 2100° К — $128,7 \cdot 10^{-8}$ ом·м, 2120° К — $128,9 \cdot 10^{-8}$ ом·м. Электрич. сопротивление увеличивается линейно с ростом т-ры, за $5-10^{\circ}$ до плавления линейность нарушается вследствие эффекта присутствия примесей и увеличения конц-ии вакансий, а также за счет т-рных градиентов в образце. Оцененная погрешность измерения 8° К для т-ры плавления и излучения, 3% для нормального спектрального излучения и электрич. сопротивления.

М. Б. Варфоломеев

Zr

~~#4-11162~~

1975

5 E588. Измерение точки плавления, яркостной температуры (в точке плавления) и удельного электросопротивления (выше 2100°K) циркония методом импульсного нагрева. Cezairliyan A., Righini F. Measurement of melting point, radiance temperature (at melting point), and electrical resistivity (above $2,100^{\circ}\text{K}$) of zirconium by a pulse heating method. «Rev. int. hautes temp. et réfract.», 1975, 12, № 3, 201—207 (англ.)

Температура Zr (99,98%) измерялась быстродействующим пирометром, визированным на прямоугольное отверстие в стенке образца, благодаря которому осуществлялись условия, близкие к абсолютному черному телу. По положению плато на кривых т-ра — время

9 1976 N 5

(при скорости нагрева ~ 3000 град/сек) определена $T_{\text{пл}} = 2128^\circ \text{К}$. Яркостная т-ра Z_T в точке плавления ($\lambda = 650$ нм), измеренная на образцах с разной степенью обработки поверхности, составляет 1940°К . Излучательная способность равна — 0,367. При расчете уд. электросопротивления (ρ) учитывалось изменение размеров образца в результате фазового превращения при 1150°К . При 2100°К $\rho = 128,7 \cdot 10^{-8} \text{ ом}\cdot\text{м}$ и возрастает линейно с т-рой вплоть до T на $5-10^\circ \text{К}$ ниже $T_{\text{пл}}$. Предполагается, что отклонение зависимости $\rho(T)$ от линейности вблизи $T_{\text{пл}}$ может быть вызвано наличием примесей, увеличением конц-ии вакансий либо градиентом т-р вдоль образца.

Е. Спектор

Zr

X-48-11162.

1975.

(T_m)

84: 49932d Measurement of melting point, radiance temperature (at melting point), and electrical resistivity (above 2100°K) of zirconium by a pulse heating method. Cezairliyan, A.; Righini, F. (Inst. Mater. Res., Natl. Bur. Stand., Washington, D. C.). *Rev. Int. Hautes Temp. Refract.* 1975, 12(3), 201-7 (Eng). The m.p. ($2128 \pm 8^\circ\text{K}$ on the International Practical Temperature Scale of 1968), radiance temp. ($1940 \pm 8^\circ\text{K}$ at $\lambda = 650 \text{ nm}$) at the m.p., and the elec. resistivity (ρ) at 2096-2128°K of Zr were measured by using the previously described (C., et al., 1970; C., 1972-3) msec-resoln. pulse-heating method. The value of ρ (in units of $10^{-8} \Omega\text{-m}$) increased linearly from 128.7 to 128.9 at 2100 and 2120°K. At the m.p., the normal spectral emittance (at $\lambda = 650 \text{ nm}$) of Zr is 0.367 ($\pm 3\%$).

C.A.1976 84 N8

50619.415

77085

1975

TC

Zr

cu.

на обработке

Cezairliyan A., Righini F. Measurement of melting point, radiance temperature (at melting point), and electrical resistivity (above 2,100 K) of zirconium by a pulse heating method. (Abstract). "Rev. int. hautes. temp. et ~~réfract.~~", 1975, 12, № 2, 180 (англ.)

356 364

0390 пик ВИНИТИ
0389

ABSTRACT

Фамилия рефера	
Заявка рефера	
Гонорар.	
Выработка	
Референ	
Редактор	

A subsecond duration pulse heating method is used to measure the melting point, radiance temperature (at 650 nm) at the melting point, and electrical resistivity (above 2,100 K) of zirconium. The results yield a value of 2,128 K for the melting point and 1,940 K for the radiance temperature (at 650 nm) at the melting point both on the International Practical Temperature Scale of 1968. The corresponding value for the normal spectral emittance (at 650 nm and at the melting point) is 0.367. At 2,100 K, electrical resistivity is $128.7 \times 10^{-8} \Omega \cdot \text{m}$. Estimated inaccuracy is: 8 K in the melting point and in radiance temperature, and 3 % in normal spectral emittance and electrical resistivity.

по рубрик.

Категории
оплаты

(*) Abstract of an article to be published in a next issue of the *Rev. int. Htes Temp. et Réfract.*

(†) Guest scientist from the *Istituto di Metrologia* in Torino (Italy).

1975

Zr

8 Б770. Влияние кислорода на давление пара цирко-
ния. Федоров Г.Б., Калинин П.И., Ива-
нов К.В., Баринов И.П. В сб. «Термодинам. свой-
ства метал. сплавов». Баку, «Элм», 1975, 52—56

(P)

Изучено давл. пара циркония (I) над сплавами си-
стемы I — кислород (II). Большинство измерений
выполнены в β -фазе системы I-II. Эксперименты про-
водили на высоковакуумной установке с полностью без-
масляной системой откачки в области т-р от 1000 до
1800°. Во время экспериментов постоянно контролиро-
вали степень остаточного разрежения в рабочей камере,
состав остаточной атмосферы, начальное и конечное
содержание II в образце. Давл. пара I определяли ин-
тегральным методом Кнудсена с использованием радио-
активного I-95. Для β , $\beta+\alpha$ в α -областей системы I—
II построена трехмерная диаграмма в координатах
т-ра — конц-ия р-рениного II — давл. пара. И. Филич

1976 №8

ВР-XVII - 1944

1975

Zr

Hf.

(P, 4 Hf)

9 Б914. Исследование испарения циркония и гафния в вакууме. Голубцов И. В., Микульская Г. Ю. В сб. «Термодинам. свойства метал. сплавов». Баку. «Элм», 1975, 62—65

Методом Ленгмюра определены давл. паров Zr и Hf в интервалах т-р соотв. 1470—1790° и 1200—1940°. Получены ур-ния зависимости давл. пара Hf и Zr от т-ры (в предположении, что коэф. испарения равен единице) соотв. $\lg P$ (мм.) = $9,34 - 30300/T$ и $\lg P$ (мм.) = $= 8,80 - 28800/T$. По 2-му закону получены энталпии ΔH_0° сублимации для Hf и Zr соотв. $144 \pm 0,5$ и $143 + 1 \pm 0,22$ ккал/г·атом.

М. В. Коробов

+1

☒

X1976 №9

Zz

1975

Groshyanov V.M.
Fedorova G.M.

Kp.

Izv Akad Nauk SSSR
Neorg. Mater. 1975, 11(1)
105-107 (Russ.)



(euTiO; I)

Zr

1975

Harmelin M.,
Lehr P

(4 Htr)

C. R. Hebdom. Séances
Acad. Sci., Ser. C,
1975, 280 (16)

1011-14.

(Cu, Ti, I)

Zr(c)

ORT. 4824

1975

Kerr J. A., et al

(44f.)

Hausdorff Kleur. Plijs,
55 th Ed., 1974-75.

4-11229

1975

11 Б1029. Теплопроводность и теплоемкость сплавов циркалои-2, циркалои-4 и чистого циркония. Mигава-
yashi Masayuki, Тапака Shigenori, Така-
hashi Yoichi. Thermal conductivity and heat capacity
of zircaloy-2, -4 and unalloyed zirconium. «J. Nucl. Sci.
and Technol.», 1975, 12, № 10, 661—662 (англ.)

(C_p) Коэффициент теплового рассеяния и теплоемкость сплавов циркалои-2 и циркалои-4 и чистого циркония измерены в интервале 300—850 К методом лазерного нагрева. Результаты измерений представлены графически. Установлено, что теплоемкости этих сплавов близки к теплоемкости чистого циркония. По ур-нию $k = \alpha C_p \rho$, где k — теплопроводность, C_p — теплоемкость, α — коэф. теплового рассеяния и ρ — плотность, рас-

считана теплопроводность сплавов и циркония. Г-рные зависимости (ватт/см·К) представлены ур-ниями $k = 0,138 - 3,90 \cdot 10^{-5} \cdot T + 1,184 \cdot 10^{-7} \cdot T^2$ (циркалои-2) и $k = 0,113 + 10^{-5} \cdot T + 0,725 \cdot 10^{-8} T^2$ (циркалои-4).

П. М. Чукуров

Х 1976 № 11

1975

Zr

фазов.
переход

12 E822. Исследование аллотропического превращения циркония и его сплавов с ниобием методом внутреннего трения. Веденяпин Г. А., Смирнов Л. В. «Физ. мет. и металловедение», 1975, № 1, 114—119

Методом внутреннего трения (ВТ) при низкочастотных крутильных колебаниях исследованы аллотропич. превращения Zr и его сплавов с 1% и 2,5% Nb после быстрого прохождения области т-р $\alpha \rightleftharpoons \beta$ -превращения и при значительных переохлаждениях (перегревах). Кинетич. кривые ВТ обрабатывались по ф-ле, полученной на основании предложенной модели механизма распада, согласно которой выделение частиц новой фазы вызывало появление повышенной плотности дислокаций; рост частиц регулировался изменением характеристик дислокационной структуры со временем. Для Zr при т-рах $730 \div 760^\circ\text{C}$ в начальный момент времени осуществлялся процесс, характеризуемый кинетич. коэф. около 1/2. При более длительных временах, а также при т-рах выше 760°C процесс характеризовался коэффициентом 2/3. Для сплавов Zr с Nb кривые ВТ описы-

Ф 1975 № 12

вались значением только $1/2$. Заметного различия в $\alpha \rightarrow \beta$ - и $\beta \rightarrow \alpha$ -превращениях для Zr и его сплавов с Nb не найдено. Однако для $\beta \rightarrow \alpha$ -превращения сплавов с Nb при 780°C и ниже через некоторое время появляется ω -фаза. Проверка кинетики изменения ВТ для сплава Zr с 1% Nb при медленном ступенчатом охлаждении от 890°C показала, что скорость распада пропорциональна $(\Delta T)^2$, где ΔT — величина переохлаждения. Закон распада характеризуется коэф. $1/2$. Распад $\beta \rightarrow \alpha$ происходит до т-ры эвтектоидного распада. В области т-р образования эвтектоидной смеси ВТ после обычного падения через некоторое время увеличивается. В этом же интервале т-р появляется перелом на температурной зависимости скорости превращения. Эти данные показывают, что 1% Nb в Zr полностью не растворяется.

Автореферат

1976

Zr

(c_p , 46, 5°, 4H)

87: 29930k Thermochemical properties for zirconium.
Alcock, C. B.; Jacob, K. T.; Zador, S. (Dep. Metall. Mater. Sci., Univ. Toronto, Toronto, Ont.). *At. Energy Rev., Spec. Issue 1976*, 6, 7-65 (Eng). A review with 171 refs., includes discussion of the molar heat capacities, free energies, entropies, and enthalpies.

(05308)

C.A. 1977. 87 n 4

72

1976

- 7 Е672. Аллотропическое превращение ОЦК→ГПУ в цирконии. Akhtag A. The allotropic transformation BCC \rightleftharpoons HCP in zirconium. «Met. Trans.», 1976, A7, № 11, 1735—1741 (англ.)

аллотроп.
превращ.

Методами оптич. металлографии и рентгенографии исследовано полиморфное превращение β (ОЦК)→ α (ГПУ) в монокристаллах чистого Zr. $\beta\rightarrow\alpha$ -Превращение в случае получения β -фазы из расплава является превращением массивного типа. В случае $\beta\rightarrow\alpha\rightarrow\beta\rightarrow\alpha$ -превращений последнее $\beta\rightarrow\alpha$ -превращение сдвигового типа с соблюдением между β - и α -фазами ориентационного соотношения Бюргерса. Сдвиговой характер $\beta\rightarrow\alpha$ -превращения обусловлен наличием дислокационной субструктуры, возникающей при $\alpha\rightarrow\beta$ -превращении. $\alpha\rightarrow\beta$ -Превращение всегда является массивным превращением. При термоциклизации $\alpha\rightarrow\beta\rightarrow\alpha$ эффекта памяти формы не наблюдается. Библ. 21. М. П. Усиков

Ф, 1972, N7

1976

Zr

→ 86: 10808j The allotropic transformation bcc \rightleftharpoons hcp in zirconium. Akhtar, A. (Dep. Metall., Univ. British Columbia, Vancouver, B. C.). *Metall. Trans., A* 1976, 7A(11), 1735-41 (Eng). The allotropic transformation hcp. (hexagonal close-packed) (α) \rightleftharpoons bcc. (β) was examt. in crystal bar Zr. The $\beta \rightarrow \alpha$ transformation is massive type in melt-grown crystals of β Zr. Upon thermal cycling through $\alpha \rightarrow \beta \rightarrow \alpha$ the bcc. \rightarrow hcp transformation occurs frequently through a shear process and less frequently through a massive transformation. The presence of $\alpha \rightarrow \beta$ transformation substructure may favor the operation of the shear mode. The hcp. \rightarrow bcc. phase change occurs through a massive transformation. A lack of transformation memory is assoed. with the process of thermal cycling.

Tc

C.A. 1977 86N2

ZY

1976

85: 25488h Effect of oxygen on zirconium vapor pressure.
Fedorov, G. R.; Kalinin, P. I.; Ivanov, K. V.; Barinov, I. P.
(USSR). V sb., *Termodynam. Svoistva Metal. Splavov* 1975,
52-6 (Russ). From *Ref. Zh., Metall.* 1976, Abstr. No. 3A38.
Title only translated.

(P)

C.A. 1976. 85 N4

ЛЧ
13 Б1024. Влияние среды на параметры испарения циркония. Федоров В. К., Калинин П. И. «Докл. АН СССР», 1976, 226, № 1, 151—154
1976

(P)

На высоковакуумной установке с безмасляной откачкой методом Кнудсена с использованием радиоактивных индикаторов изучено суммарное давление (ΣP) пара над сплавами Zr—O в интервале т-р 1000—1824° при различной величине окислительного потенциала (P_O). P_O остаточной среды изменялся от 10^{-13} до 10^{-5} атм. Изотермич. зависимости $\lg P$ от $\lg P_O$ имеют экстремальный, немонотонный характер и изменяются, в среднем, на 4 порядка. Установлено 4 области, отвечающих различным механизмам окисления и испарения Zr. Эффективные теплоты сублимации (Q) изменяются от 47 ккал/моль в области низких до 155 ккал/моль в области высоких т-р. Рассмотрены константы равновесия возможных р-ций Zr и его окислов с кислородом остаточной среды в тв. и газ. фазах. Показано, что в различных областях т-ры и $P_O \Sigma P$ складывается из давл. паров Zr, ZrO и ZrO₂ в различных сочетаниях. Ход теор. и эксперим. изотерм подобен, а величины их экстремумов хорошо совпадают. Хорошо совпадают и величины теор. и эксперим. значения Q .

Ю. В. Штейнберг

1976 N 13

Z2
1217

Ackermann R.J., Garg S.P.,
Rauh E.G. 1977

Poravuum

Ceram.
J. Amer. Ceram. Soc.;
1977, 60 (~~1977~~), 341
P.

135

T.g. Zr (K, cc).

Zr

Blairs S.

1977

Tsp.

"J. Inorg. and Nucl. Chem.",
1977, 39, n5, 905-907.

X. 1977. N 21

(acc. Cu) 1

Zr

274.

Герасимов Я. Н., Гиазов
В. Н., Назарев В. Б., На-
ров В. В.; Гашинский А. С.
¹⁹⁷⁷

докл.

АН СССР, 1977,

235, ~~144~~⁺ 0.846

Родионов

94

T. sp. Zr (ub, m).

1977

Zr

Crovini L., et al.

Metrologia 1977, 13(4),
197-206.

(T_m)

1977

Zr

Hf

10 E912. Высокотемпературные фазовые диаграммы систем цирконий — молибден и гафний — молибден. Garg S. P., Ackermann R. J. The high temperature phase diagrams for zirconium molybdenum and hafnium-molybdenum. «Met. Trans.», 1977, A8, № 2, 239—244 (англ.)

Построены высокотемпературные части бинарных фазовых диаграмм Zr—Mo и Hf—Mo. Линии ликвидусов получены непосредственно из измерения предельной растворимости монокристалла Mo в жидкых Zr и Hf. Измерения растворимости подтверждаются результатами микрорентгеноспектрального анализа, с помощью которого обнаружено образование тонких слоев стехиометрич. соединений $ZrMo_2$ и $HfMo_2$ на поверхности монокристалла Mo ниже перитектич. т-р 1918 ± 5 и $2206 \pm 5^\circ C$ соответственно. Т-ры плавления, солидуса, ликвидуса, эвтектики и перитектики фиксировались

(Tm)

⑦ ⑧

φ. 1977 N 10

оптич. пирометром по появлению жидкой фазы, образующей высокоотражающую поверхность. Найденные т-ры плавления Zr и Hf составляют 1860 ± 3 и $2228 \pm 3^\circ C$ соответственно, что хорошо согласуется с ранее полученными значениями. Эвтектич. т-ры и конц-ии $1551 \pm \pm 2^\circ C$, $29,0 \pm 0,5$ ат.% Mo (Zr—Mo) и $1896 \pm 3^\circ C$, $40,5$ ат.% Mo (Hf—Mo) находятся в хорошем согласии с ранее выполненными измерениями и оценками, однако определены более точно. Конц-ия ликвидуса при перитектич. т-ре для системы Zr—Mo составляет $54,0 \pm \pm 1,0$ ат.% Mo, для системы Hf—Mo 61 ± 3 ат.% Mo.

Резюме

ИМ
рп

Y
Zr

1948

Grimwall F.

Cp

Transit. metals., 1947, Int. Conf.,
Toronto, 1947, Bristol-london,
1948, 174-179, Discuss 178-179,

(au. Ti; I)

МЧ
Л2

Краска из Бердянска.

1978

Новиков Н.Н., Алексеевский
В. В., Борзых Г.И. 21.9.78

(СР) 8 кн.: Конструирование
и экспериментальное исследование
одной головки механизма
"М. Неструка" 1978 с. 166.

Документация на проектирование
и экспериментальное исследование
механизмов

Zr

1978

June 1983

91: 28272t Lattice specific heat of zirconium. Rao, R. Ramji; Rajput, A. (Phys. Dep., Indian Inst. Technol., Madras, India). *J. Phys. Chem. Solids* 1978, 39(12), 1329-30 (Eng). The temp. dependence of the lattice heat capacity of Zr was calcd. using the model parameters of C. S. Menon and Ramji Rao (1973).

(C_p)

PA.1979.G1NY

Zr

отмела 7483

19.58

13.Б533. Решеточная теплоемкость циркония. Ramji R., Rajput A. Lattice specific heat of zirconium. «J. Phys. and Chem. Solids», 1978, 39, № 12, 1329—1330 (анн.)

(C_P)
Параметры динамич. модели для металлов с гексагон. плотноупакованной структурой с помощью к-рых исследован фононный спектр и тепловое расширение решетки Zr, использованы для расчета функции плотности фононных состояний и решеточной теплоемкости Zr при т-рах 14—300° К. Отмечено хорошее согласие расчетных и эксперим. данных для решеточной теплоемкости циркония.

А. Ю. Румянцев

Х-1979 NB

вытесн 7483

1948

У 7 E499. Решеточная теплоемкость циркония. Ramji-Rao R., Rajput A. Lattice specific heat of zirconi-

um. «J. Phys. and Chem. Solids», 1978, 39, № 12, 1329—1330 (англ.)

Проведен расчет частотного спектра (секулярное урение решено для 484 точек неприводимого объема зоны Бриллюэна, что с учетом симметрии кристалла эквивалентно 8480 точкам расширенной зоны). Результаты вычислений теплоемкости в интервале т-р 14—300° К хорошо согласуются с эксперим. данными.

Резюме

Ф.1949/14

Zr

ZrO₂

16f

XVII - 3251

1979

92: 8348Sp The thermodynamic properties of substoichiometric zirconium dioxide at the lower phase boundary. Ackermann, R. J.; Garg, S. P.; Rauh, E. G. (Chem. Div., Argonne Natl. Lab., Argonne, IL 60439 USA). *High Temp. Sci.* 1979, 11(3), 199-210 (Eng). The vaporization behavior of the univariant system, Zr(s,liq.) + ZrO₂(s), was investigated by a combination of mass effusion and mass-spectrometric techniques at 1900-2500 K. The partial pressures of the gaseous species (Zr, ZrO, ZrO₂, and O) across the miscibility gap and the activities and activity coeffss. of Zr and ZrO₂ in the condensed phases were detd. The std. Gibbs energies of formation of substoichiometric dioxide and the Zr(α) phase satd. with O were calcd. as functions of temp. and corresponding compns. of the phase boundaries.

(+1) ~~✓~~

CA 1980 92 n 10

Zr

9 E845. α - ω -превращение в цирконии при деформации в условиях высокого давления. Бланк В. Д., Веллер М. Е., Коняев Ю. С., Эстрин Э. И. «Физ. мет. и металловед.», 1979, 47, № 5, 1109—1111

15.11.95

Tt_r

На установке для гидроэкструзии с противодавлением, позволяющей независимо варьировать степень деформации и давление, изучено α - ω -превращение в Zr при давлениях до 70 кбар. При давлениях до 28—30 кбар α - ω -превращение в процессе деформации не происходит. При давлениях от 28—30 до 60 кбар α - ω -превращение может быть вызвано деформацией; кол-во возникающей при этом ω -фазы увеличивается при повышении давления и увеличении степени деформации. При давлениях выше 60 кбар развивается спонтанное α - ω -превращение. Деформация (ε) ω -фазы, полученной при давл. >28—30 кбар, приводит к повышению ее микротвердости от ~240 кбар/мм² (при $\varepsilon=0$) до ~400 кг/мм² при $\varepsilon=76\%$ (микротвердость недеформированной α -фазы Zr ~120 кг/мм²).

Ф.16.ЧЕМО

1979

Zr

(Tm)

92: 9904e The high temperature phase diagram for zirconium-tungsten. Garg, S. P.; Ackermann, R. J. (Metall. Div., Bhabha At. Res. Cent., Trombay, 400 085 India). *Trans. Indian Inst. Met.* 1979, 32(1), 62-4 (Eng). The Zr-W phase diagram was detd. at 1730-2330° by the solv. and optical techniques. Peritectic compd. ZrW_2 was present at <2160°. The m.p. of Zr was 1860, and the eutectic and peritectic temps. were 1730 and 2160°, resp. The solv. of W in Zr was 3.5 (max.), with 9.5 at eutectic and 23.5 at.% at the liquidus peritectic temps.

⊗ (1) Zr-W
(paz. guasp.)

C.A.1980.92,02

Zr

Lommel 8765

1979

(fb, m.)

Gorecki T.

metast. garnet

(Gp) *Beta phys. polon.*, 1979
A56 (4), 523-26

Zr(k, u)

1979

Zr(2)

YANAF Thermochemical
Tables, June 30, 1979.

1979

of
Lx

Гуревич А. В. и др.

Изв. - физ. н. "1979, 36, №,
581-87.

sp

all. Ti-I

Zr
1021

Пономарев Е.Ю. 1979

ГХЛ

Фазовые диаграммы
титановых при бесконечном
заливании. М.: #Металл#
~~науч.-техн. изд-во. науки. техн.~~,
1979

139

Zr(μ , m)

Zr

oimnacu 8595

1979

Энерг.
сигна.

Кручен.
сигналы
W-газы

Vokra V.K., et al

J. Phys. F: metal.
Phys. 1979, 9 (9)
1971-82.

1980

Yr

Frimvall &

Rev. Int. Hautes Temp.

Refract. 1979 (Pub 1980),
16(4), 411-12

Cp

Ca Ti ; I

γ
L_r

(metastable)

Lommel 11490

1980.

Ramachandhra Rao P., et al.

(T_{tr})

Metall. Trans., 1980,
A11, 1789-92



Zr

1981.

Batalin, G. I., et al.

(A. H. Solti & al.) Izv. Akad. Nauk

SSSR, Met. 1981,
(1), 69-71.



(cur. B; I).

1981

Zr

93,99%

(Ter)

9 E593. Полиморфное $\alpha \rightarrow \omega$ фазовое превращение в чистом Zr при атмосферном давлении. The $\alpha \rightarrow \omega$ polymorphous phase transformation in pure Zr at atmospheric

pressure. Botstein O., Rabinkin A., Taliankeg M. «Scr. met.», 1981, 15, № 2, 151—155 (англ.)

Методом дифракционной электронной микроскопии обнаружена ω -фаза, возникающая в чистом Zr при его охлаждении до низких т-р (4,2—210 K), при прокатке при комнатной т-ре и при приложении давления 1 ГПа. Объемная доля образующейся после таких обработок ω -фазы весьма мала, так что ее нельзя обнаружить рентгенографически. На основании полученных данных уточнена $T-P$ диаграмма Zr и показано, что ω -фаза может быть стабильной при комнатной т-ре. Вычислены изменение свободной энергии ΔF при $\alpha \rightarrow \omega$ превращении (225 дж/моль) и энергия активации этого процесса при атмосферном давлении (217 дж/моль). М. П. Усиков

Ф. 1981 № 9

Zr

1981

Co

95: 33651c Heat capacity and some acoustic characteristics of cobalt and zirconium in the phase transition region. Boyarskii, S. V.; Novikov, I. I. (Inst. Metall. im. Baikova, Moscow, USSR). *Teplofiz. Vys. Temp.* 1981, 19(1), 201-3 (Russ). The heat capacity of Co and Zr was detd. at the cryst. phase-transition region and by detg. the resonance frequency of bending vibrations of a Co disk. The resonance frequency is proportional to the square root of elasticity modulus and sound velocity.

(C_p)

+1

X

C.A. 1981. 95.14

1133

α -Zr

Lommelca 11484 | 1981.

Hood J. M.

J. Nucl. Mater., 1981, 96,
372 - 74.

The vacancy properties of
 α -Zr.

Zr

1981

Meyer J. D. et al.

Nucl. Instrum. Met-
hods 1981, 182-183,
933-6.

(T_{Tz})

(ccs. Ti; I)

Zr

Lommel 11132

1981

Uzonanus
coemab

Minster J.F; Ricard L.

Int. J. Mass Spectrom. and
Ion Phys., 1981, 37,
259-72.

(63)

The isotopic composition of Zr .

1981

Zr

8 E533. Кристаллография и модель $\alpha \rightarrow \omega$ фазового превращения в цирконии. Crystallography and a model of the $\alpha \rightarrow \omega$ phase transformation in zirconium. Rabinkin A., Talianker M., Botstein O. «Acta met.», 1981, 29, № 4, 691—698 (англ.; рез. франц., нем.)

Кристалло-
графия
фазово-
перехода

Под действием давления 6,0 ГПа в Zr получена ω -фаза, которая сохраняется после снятия давления. Эл.-микроскопич. исследование выявило мелкие эллипсоидальные частицы (размером 40—50 Å) ω -фазы, находящиеся внутри кристаллов α -матрицы (с ГПУ-решеткой). Обнаружено 3 эквив. варианта следующего ориентационного соотношения (ОС) решеток α - и ω -фаз: $(0001)_\alpha \parallel (1\bar{2}10)_\omega$ и $[2\bar{1}10]_\alpha \parallel [0001]_\omega$. На основании полученного ОС предложена атомная модель перестройки решетки α -фазы в решетку ω -фазы. В основе модели лежит смещение трех соседних плотноупакованных атомов.

Ф. 1981, № 8

кованных атомных рядов $\langle\bar{1}210\rangle_\alpha$ вдоль этого направления на $a_\alpha/4$ (a_α — параметр ГПУ-фазы) в базисной плоскости, а трех следующих плотноупакованных рядов — на ту же величину в противоположном направлении и т. д. Эти смещения приводят к образованию гексаг. решетки ω -фазы при некоторой «перетасовке» плоскостей $\{\bar{1}210\}_\omega$. Предполагается, что такой механизм перестройки $\alpha \rightarrow \omega$ может быть обусловлен малым значением упругого модуля C_{44} ГПУ-решетки, который характеризует жесткость этой решетки в направлении $\langle\bar{1}210\rangle_\alpha$. Обсуждаются общие черты атомных механизмов $\alpha \rightarrow \omega$ и $\beta \rightarrow \omega$ фазовых превращений, происходящих путем определенных сдвигов решетки. Библ. 23.

М. П. Усиков

477
498

Зарецкий Е.Б., Телецкий В.Э. 19.81

Розумний

Физика високих
температур (~~в науках~~)
1981

136

Zr (K, mc) терм. функції

72

Уралмаш исп.

1982

И-Ио

1200 - 2130К

Тендер дополнеб 7 Рес.
вногр. по генеральному сб-нию Г-Б
Ташкент, 1982г
сб. 235

1072 г. Берлин

Zr(kp) omnick 13458 1982

96: 130806k Very low temperature specific heat of crystalline zirconium in normal and superconducting states. Lasjaunias, J. C.; Ravex, A. (Cent. Rech. Tres Basses Temp., CNRS, 38042 Grenoble, Fr.). *Phys. Lett. A* 1982, 88A(3), 157-8 (Eng). The sp. heat of Zr at 0.03-1.2 K in both normal and superconducting states was detd. In the normal state, a purely linear electronic contribution is obsd. down to 0.1 K; at lower temps. the onset appears of a nuclear hyperfine contribution, which is unobservable in the superconducting state within the exptl. time scale.

C_p^0

meikomens.

mess.

c.a. 1982, 96, N16

Zr

1982

Ширзаб D.A., Улбаш-
МОБ Р.Т.

полиморф.
превращен.

УЗб. АН СССР. Изв.,
1982, №3, 103-109.

(од. Ti; I)

Zr(k,u)

1982

Par-Kratz Y. B.

Thermodynamic Properties of Elements and
Oxides USA Bur. Mines Bull. 672.

(y illegible)

1982

97: 79972c Thermophysical properties of Group IV transition metals near polymorphous transformations. Peletskii, V. E.; Zaretskii, E. B. (Inst. High Temp., Moscow, USSR). *Proc. Symp. Thermophys. Prop.* 1982, 8th(2), 83-6 (Eng). The temp. dependence of the thermal diffusivity α , the thermal cond. λ , and the sp. heat C_p of iodide-refined Ti and Zr was investigated in the vicinity of polymorphous transformations (at 700-1700 K). The variation of α , λ and C_p with temp. was detd. by measuring simultaneously the power and temp. oscillations and the power-temp. phase shift. All the properties mentioned above exhibit a jump-like variation at the hcp.-bcc. transformation temp. (e.g., in the case of Ti, α changes from 0.56 to 0.65 cm²/s, λ from 0.26 to 0.16 W/cm-K, and C_p from 0.99 to 0.55 J/g-K). To measure the transition heat Q , addnl. transient electron bombardment heating (cooling) expts. were carried out. The results obtained were used to calc. the real heat of transformation as (4360 ± 100) and (4380 ± 200) J/mol for Ti and Zr, resp.

(Ti)

Ti

C.A. 1982, 97, N/10

Zr

1983

Liu Lir Gun.

газобон
рекаког
рре
борокок
габелев

High. Temp.-High Pres-
sures 1983; 15(5),
583-5.

(cub. Ti; I)

22

С.В.Баэрский, Е.Д.Глазман

1983

с. 116 - 125 № N19 Тензориз. об-ва
веществ и материалов

гп

700 - 1120 K

Он. 26730

$T K$	φ	φ_{Taub}	$A \varphi = 91,224$
700	30,10	30,38	-0,28
800	33,02	32,43	+1,59
900	35,94	32,46	+3,48
1000	39,47	33,49	+6,28
1100	48,17	34,51	+13,66
1120	51,82	34,91 (+16,9)	
		(1140)	

Zr

Om. 16392

1983

98: 222297q Isotopic abundance ratios and atomic weight of zirconium. Nomura, Masao; Kogure, Kazumi; Okamoto, Makoto (Res. Lab. Nucl. React., Tokyo Inst. Technol., Tokyo, Japan 152). *Int. J. Mass Spectrom. Ion Phys.* 1983, 50(1-2), 219-27 (Eng). Abs. values were obtained for the isotopic abundance ratios of a Zr reagent by using surface-ionization mass spectrometry. Two kinds of enriched Zr isotopes, ^{90}Zr and ^{94}Zr , were calibrate the mass spectrometer. The resulting abs. values are $^{91}\text{Zr}/^{90}\text{Zr} = 0.21814 \pm 0.00022$, $^{92}\text{Zr}/^{90}\text{Zr} = 0.33324 \pm 0.00013$, $^{94}\text{Zr}/^{90}\text{Zr} = 0.33779 \pm 0.00021$, and $^{96}\text{Zr}/^{90}\text{Zr} = 0.05440 \pm 0.00009$, where the uncertainties correspond to the 95% confidence limit calcd. from the reproducibility of repeated measurements. The at. wt. corresponding to the ratios was calcd. as 91.2235 ± 0.0005 , which is in accord with the value reported by J. F. Minster and L. P. Ricard (1981) (91.244) and the currently accepted value of 91.22 by IUPAC (1975).

(an. fec)

c.a. 1983, 98, N 26

Zr

1984

5 Е570. Электронно-микроскопическое исследование
 $\alpha \rightarrow \omega$ -превращения в цирконии. Добромуслов А. В.,
Талуц Н. И., Демчук К. М., Мартемьянов А. Н.
«Физ. мет. и металловед.», 1984, 57, № 1, 90—95

Методом ПЭМ изучена морфология образующейся под давлением ω -фазы в Zr. Показано, что индуцируемое давлением $\alpha \rightarrow \omega$ -превращение сопровождается появлением на электронограммах диффузных штрихов, которым соответствуют плоскости диффузного рассеяния, совпадающие с плоскостями (001) обратной решетки ω -фазы. На основании анализа диффузного рассеяния сделан вывод о наличии в структуре ω -фазы линейных дефектов.

Резюме

оф. 1984, 18, N5

Zr

1984

Kuznetsov G. M., Nikonova N.
et al.

$\Delta_{\text{tr}} S$, Izv. Vyssh. Uchebn. Zaved.,
 $\Delta_{\text{tr}} H$; Tsvetn. Metall. 1984, (4),
90-3.

(c.c., Fe; I)

Zr

1984

102: 155865] Thermodynamic characteristics of the complexation of zirconium with sulfate ions in an aqueous solution. Mel'nikova, V. M.; Klement'eva, I. I.; Kirichenko, A. E.; Vasin, S. K. (USSR). Pererab. Fiz.-Khim. Svoistva Soedin. Redk. Elem. 1984, 68-73 (Russ.). Edited by Vasin, S. K. Akad. Nauk SSSR, Kol'sk. Fil.: Apatity, USSR. Heats of soln. of Zr in 4N H₂SO₄ (in presence of HClO₄) were measured at 298.18 K for 6.38×10^{-4} and 1.05×10^{-3} mol/L of Zr. Heats of diln. were derived. The heats, free energy, and entropies of formation of Zr complexes with H₂SO₄ were calcd.

(Solv H
8 H₂SO₄)

④ ~~✓~~

C. A. 1985, 102, n 18.

Zr · H₂SO₄ (kompl.)
(ΔfH, ΔfF, ΔfS)

Zr

1985

Al'zhevskii Yur. Z.,
Kul'ritskii B. A., et al.

T_{tr}:

Dokl. Akad. Nauk SSSR
1985, 285(3), 619-21.

(Cu, Ti; I)

Zr(k) (OM dd626), 24381) 1985

Bober et al., Singer Y.,

High Temp. Sci., 1985,

19, N3, 329-345.

Pan,
AsH₃;

Zr(K, P)

1985

JANAF

T.P. Загг. 1985, соір 1853

Мартес 1979

Zr

1985

(Om. 21216)

22020

102: 210290v Thermophysical properties of zirconium and hafnium at high temperatures. Kats, S. A.; Chekhovskoi, V. Ya.; Kovalenko, M. D. (Inst. Vys. Temp., Moscow, USSR). *Teplofiz. Vys. Temp.* 1985, 23(2), 305-7 (Russia). Mixing calorimetry was used to measure the enthalpies of α - and β -Hf, β -Zr, and liq. Zr. The heat capacities were derived. The heat of transition of Hf (at 2048-2081 K) and of fusion of Zr (2130 K) were also detd.

(ρ , smH)

④ Hf (ρ, strH)

C.A. 1985, 102, N24

Zr

1985

103: 43693r High-temperature specific heat by a pulse-heating method. Wire, M. S.; Fisk, Z.; Webb, G. W. (Mater. Sci. Technol. Div., Los Alamos Natl. Lab., Los Alamos, NM 87545 USA). *Rev. Sci. Instrum.* 1985, 56(6), 1223-5 (Eng). A pulse-heating method for measuring sp. heat and elec. resistivity at high temps. is described. This technique can be used for elec. conductive materials from room temp. to near 1300 K. As an example, measurements are presented for Zr.

(C)

C.A.1985, 103, N6

Zr

Om. 21216 1985
(22 020)

10 E294. Термофизические свойства циркония и гафния при высоких температурах. Кац С. А., Чеховской В. Я., Коваленко М. Д. «Термофиз. высок. температур», 1985, 23, № 2, 395—397

Приведены результаты исследований энталпии Hf и Zr в интервале т-р 1200—2350 К. Энталпия α -фазы Hf описывается выражением $(H_T - H_{298}) = 26,098(T - 298,15) + 3,4151 \cdot 10^{-3}(T - 298,15)^2$, β -фаз Zr и Zr $(H_T - H_{298})_{\text{Zr}} = -9346,5 + 33,5482 T$; $(H_T - H_{298})_{\text{Zr}} = 3542 + 4,72 \cdot 10^{10} \cdot \exp(-37300/T)$; жидкого Zr $(H_T - H_{298}) = 7845 + 38,769 T$ (Дж/моль). Температура α — β -фазового перехода Hf ($T_{\alpha-\beta} = 2013$ К) равна 3,31 кДж/моль, теплота плавления Zr ($T_{\text{пл}} = 2130$ К) составляет 14,674 кДж/моль.

В. Е. Зиновьев

Hf

cf. 1985, 18, n/10

Л2

1986

Шаровасов Б. Н.

Дүкөлөвекъеэ М. Ш.

T₁₁₁;

Изд. вузов. Усп. науки -
образования, 1986, № 1, 154-

- 155.

(ссср. V; I)

Z2

Cordfunke EHP, Konings R.J.M. 1987

Heat capacities of some metals
of importance in nuclear technology
(drop calorimetry)

H-H

²⁰⁸

Mar. Damaskos
new

42 Annual Calorimetry Conf.

Abstracts,

Boulder, Colorado,

26 - 31 March 1987.

cm. N51

*Y
Zr*

1987

108: 27623r On the use of shock-wave data in evaluations of thermodynamic properties. Fernandez Guillermet, A. (Div. Phys. Metall., R. Inst. Technol., S-10044 Stockholm, Swed.). *J. Phys. Chem. Solids* 1987, 48(9), 819-25 (Eng). Data from shock-wave expts. may be combined with thermodn. data obtained by conventional techniques to evaluate the thermodn. properties of a material. The evaluation may be performed by adopting a model for the Gibbs energy as a function of temp. and pressure. The results for Zr are discussed.

*mepris
cf - fa*

C.A. 1988, 108, NY

(all-open)

Zr

On 27 313

1987

224100y Critical evaluation of the thermodynamic properties of zirconium. Guillernet, Armando Fernandez (Div. Phys. Metall., Inst. Technol., S-10044 Stockholm, Swed.). *High Temp. - High Pressures* 1987, 19(2), 119-60 (Eng). The thermodn. properties of the pressure-temp. phase diagram of Zr were evaluated from extl. information with the use of thermodn. models for the Gibbs energy of the individual phases. A set of parameters describing the Gibbs energy of the various condensed phases as a function of temp. at pressure is presented. Exptl. data of many different types are satisfactorily reproduced by the evaluated model parameters.

mesros cb-th
part. quarp.

c.a. 1987, 107, N24

Zr

1987

9 Б3011. Использование данных метода ударной волны в оценках термодинамических свойств. On the use of shock-wave data in evaluations of thermodynamic properties. Guillermo A. Fernández. «J. Phys. and Chem. Solids», 1987, 48, № 9, 819—825 (англ.)

Предложен метод оценки термодинамич. св-в различных переходных металлов, использующий сочетание эксперим. данных, полученных методом ударной волны (УВ) с др. типами термодинамич. информации. Метод основан на феноменологич. модели энергии Гиббса в-ва как ф-ции т-ры и давл. Показано, что эта модель дает выражения для различных термодинамич. св-в и обеспечивает получение информации о поведении переходных металлов. Значения параметров модели оцениваются из эксперим. данных. Предложенный метод с использованием машинной процедуры оптимизации применен к обработке термодинамич. данных, полученных в обычных статич. исследованиях, и данных по ударной адиабате для Zr. Обсуждены полученные термодинамич. св-ва и Р—Т-диаграмма для Zr. Предложено объяснение фазо-

оценка
термодин
Сб-б

Х. 1988, 19, № 9

вого перехода в Zг, обнаруженного методом УВ. Показана возможность согласования фазового перехода с $P-T$ -диаграммой, полученной на основании статич. исследований, а также возможность удовлетворит. объяснения всех имеющихся эксперим. данных. В. Ф. Байбуз

физика
а. РЖ

γ
 $\alpha\beta$

(OM-29163)

1987

Kirillin A.V., Kostanov-
skii A.V. et al.,

(II_n)

High Temp. - High Pres-
sures; 1987, 19, N5,
473-476

Zr

1988

Thieser M.

Int. J. Thermophys. 1988,
9 (1), 159-64.

Gp

(ceg. Mo; I)

$\frac{y}{x_2}$ (OM. 31052) 1988

White F.R.,

Int. J. Thermophys. 1988,

C_p ; 9, NS, 839-848.

Heat capacity of Transition
Metals at High Tempera-
tures.

γ
22

1989

Hernaut J.-P., Takemoto F.,
et al.,

(Tm)

High Temp.-High Pressures.
1989, 21, 112, 139-148.

7
Fr

Krishnan S., Hansen F.P.,
Mauge R.H., et al.,
1989

onmureckue
KOMEMAMM6Y
gus meugkux
memouwo6

Emissivities and optical
constants of Electromag-
netically levitated liquid
metals.

6 Intern Conference on high
temperatures, april 1989,
Fairthorpe, USA., 1. 14/1c.

22

Om. 3d 550

1989.

Vasare f.,

(Физ.-хим.
об-ва,
сборка
Мичуринском
технике)

Stud. St. Lerc. Fiz,
1989, 41, №, 577-601

Z2

(OM. 34184)

1990

Hiernaert J.-P., Sakuma F.,
Ronchi C.

T_m : Kuije kokslogze kokoy
= Bull. N.R.Z.M 1990, 39,
N 153, ● 39-48.

γ
Zr

1990

2 Е643. Новый фазовый переход в металлическом цирконии при высоких давлениях. New high-pressure phase transition in zirconium metal / Xia Hui, Duclos Steven J., Ruoff Arthur L., Vohra Yogesh K. // Phys. Rev. Lett.— 1990.— 64, № 2.— С. 204—207.— Англ.

На установке высокого давления с алмазными наковальнями рентгенографич. методом с рассеянием по энергии синхротронного излучения изучены фазовые переходы в Zr при давлениях до 32 ГПа. В интервале давлений 30 ± 2 ГПа при приложении и снятии давления обнаружен фазовый переход первого рода между ω -фазой и ОЦК-фазой (изоструктурной переходным элементам V группы), что качественно согласуется с предсказаниями первопринципных расчетов. Наличие ОЦК-фазы в Zr (элемент IV группы) под давлением при комнатной т-ре означает существование индуцированной давлением электронной конфигурации, аналогичной конфигурации для элементов V группы. Библ. 20.

Е. С. Алексеев

φ. 1991, № 2

1991

Х2

4 E563. Рентгенографическое исследование электронного $s-d$ -перехода в цирконии при высоком давлении.
High-pressure X-ray diffraction study on electronic $s-d$ transition in zirconium / Akahama Yuichi, Kobayashi Mototada, Kawamura Haruki // J. Phys. Soc. Jap.— 1991.— 60, № 10.— С. 3211—3214.— Англ.

При давл. до 68 ГПа проведено рентгенографич. изучение электронного $s-d$ -перехода в Zr. Обнаружены переходы из ГПУ-структуры в гексагональную, а затем в ОЦК-структуру при 6,7 и 33 ГПа соответственно. В ОЦК-фазе наблюдался изоструктурный переход при 56 ГПа. Для гексаг. фазы вычислены изотермич. модуль сжатия $K_0=121$ ГПа и его производная по давлению $K'_0=1,69$. Атомный объем ОЦК-Zr при давл. перехода 33 ГПа согласуется с соответствующим объемом ОЦК-Na при норм. давлении. $s-d$ -переход в Zr идет при любом давлении и завершается с изоструктурным переходом при 56 ГПа.

(T_{III})

φ. 1992, N 4

γ
Zr

1991

On 35902

115: 267714j Properties of solid and liquid zirconium. Korobenko,
V. N.; Savvatimskii, A. I. (Inst. Vys. Temp., Moscow, USSR).
Teplofiz. Vys. Temp. 1991, 29(5), 883-6 (Russ). Elec. resistivity
and enthalpy of liq. and solid Zr were detd. including the melting
range.

H_T-H_O,

c. A. 1991, 115, n24

Zr

Он 35 902

1991

5 Е438. Свойства твердого и жидкого циркония /
Коробенко В. Н., Савватимский А. И. // Теплофиз. вы-
сок. температур.— 1991.— 29, № 5.— С. 883—886

Представлены эксперим. данные об энталпии и
электросопротивления Zr для твердой фазы и жидкого
состояния, включая область плавления. Проанализиро-
ваны литер. данные стационарных и импульсных изме-
рений энталпии Zr.

(H_T - H₀)

φ. 1992, № 5

7
Zr

1991

) 2 E592. ГПУ—ОЦК переход и свободные энергии ГПУ-
и ОЦК — структур в цирконии. hcp-bcc transition and
the free energies of the hcp and bcc structures of zirconium / Salomons E. // Phys. Rev. B .— 1991 .— 43 , №
7 , Pt B .— C. 6167—6169 .— Англ.

Методом Монте-Карло рассчитана температурная зависи-
мость свободной энергии для ГПУ- и ОЦК фаз Zr.

(T_{t2})

φ. 1993, № 2

γ
 Zr

1991

114: 218550y The hcp.-bcc. transition and the free energies of the hcp. and bcc. structures of zirconium. Salomons, E. (Sect. Rech. Metall. Phys., Cent. Etude Nucl. Saclay, 91191 gif-sur-Yvette, Fr.). *Phys. Rev. B: Condens. Matter* 1991, 43(7-B), 6167-9 (Eng). The abs. free energies of the hcp. and bcc. phases of Zr were calcd. as a function of temp. by the Einstein-crystal method, using Monte Carlo simulations of a tight-binding model. The thermodyn. transition temp. of the hcp.-bcc. transition is close to the transition temp. obstd. in const.-pressure mol.-dynamics simulations. The calcd. value of the entropy difference of the hcp. and bcc. phases agree with the exptl. value, taking into account the contribution of the electronic excitations. The temp. dependence of the enthalpy difference of the hcp. and bcc. phases contributes considerably to the temp. dependence of the free-energy difference of the hcp. and bcc. phases.

$(T_{Zr}, \Delta f_{Zr})$

C.A.1991, 114, N22

γ
 α_2

1991

11 E692. Температурная зависимость превращения
 ω -фазы в цирконии. Temperature dependence of the
 ω -bcc phase transition in zirconium metal / Xia Hui, Ru-
off Arthur L., Vohra Yogesh K. // Phys. Rev. B.— 1991.
— 44, № 18.— С. 10 374—10 376.— Англ.

Методом рентгенографии с использованием источника
синхротронного излучения исследовано влияние высоко-
го давления из т-ры на превращение $\omega \rightarrow$ ОЦК в Zг. При
комн. т-ре оно происходит при давлении 35 ± 3 ГПа.
Переход $\omega \rightarrow$ ОЦК при давлении 32 ГПа реализуется
при 448 К, а обратное превращение ОЦК— ω —при
348 К. На Р—Т-диаграмме граница ω /ОЦК характери-
зуется отрицательным (39 ± 5 к/ГПа) наклоном относи-
тельно оси абсцисс. ω -фаза в Zг имеет меньшую энтро-
нию, чем ОЦК-фаза.

(T_{EZ})

Ф 1992, N 11-12

1992

176095d Band structure calculations to predict phase transformations at high pressures. Gupta, Satish C. (High Pressure Phys. Div., Bhabha At. Res. Cent., Bombay, 400 085 India). *Shock Compression Condens. Matter--1991, Proc. Am. Phys. Soc. Conf., 7th 1991* (Pub. 1992), 157-63 (Eng). Edited by Schmidt, Stephen C. North-Holland: Amsterdam, Neth. Predictions of pressure induced phase transformation in materials from ab initio methods are rare. This is because the Gibbs free energy differences between different phases are very small (a few mRy/atom or smaller). However, recent band structural theories based on d-orbital formalism have acquired capabilities to calc. such small energy differences due to the increase in computational speed and improvements in the theories. One example of the successful prediction of pressure induced phase transformation is the hcp. to fcc transition at 80 GPa in Si and hcp. to bcc. transition around 50 GPa in Mg. These transitions have been later verified using energy dispersive x-ray diffraction (EDXRD) measurements in a diamond anvil cell (DAC). The other example is the prediction of pressure induced transitions in Group IV elements (Ti, Zr, and Hf,) employing muffin-tin-orbital method in conjunction with the Andersen

(2) 18

C.A. 1993, 118, N18

Ti, Hf

the theorem. A new phase transition was predicted in Zr, ω (a three atom simple hexagonal) to β (bcc.) at 11 GPa, in addn. to the known lower pressure, α (hcp.) to ω transition. This prediction was subsequently confirmed using EDXRD measurements and found to occur at 30 GPa. A similar transition (ω to β) was predicted in Hf at 11 GPa which occurred exptl. at 71 GPa. The calcns. on Ti, however, suggested that no ω and β transition occurs up to 26 GPa; this result agreed with later expts. Furthermore, the anal. has successfully explained the causes of exptl. shock discontinuities obsd. in these metals. Despite such success of the theories in predicting the pressure induced phase transitions, there remains a problem of the need for the input crystal structures. Here, the d. functional mol. dynamics calcns. may provide an answer.

У
зр

истин

получил

(А) 14

X. 1993, N/

1992

1 В5. Получение чистых циркония и гафния /Ко-
царь М. Л., Ажака В. М., Борисов М. И., Вьюгов П. Н.,
Иванов А. Н., Коровин Ю. Ф., Линдт К. А., Мухачев А. П.,
Федоров В. Д., Чупринко В. Г. //Вычокочист. вещества
.—1992.—№ 4.—С. 85—92.—Рус. ;рез. англ.

Рассмотрены возможности получения чистых, не уступающих по кач-ву иодидным металлам, циркония и гафния путем кальциетермич. восстановления их тетрафторидов и рафинирующего электронно-лучевого переплава. Показано, что кач-во металлов определяется чистотой исходных тетрафторидов и кальция, а также режимами и условиями проведения восстановит. и рафинировочных плавок — герметичностью аппаратов, удалением адсорбированных газов из шихты, величиной избытка восстановителя, наличием др. раскислителей, материалом тигля, величинами удельных мощности и скорости электронно-лучевого переплава. Приводится хим. состав кальциетермич. циркония и гафния в сравнении с иодидными металлами.

Hf истин

Zr

1992

119: 126216u Thermodynamic analysis of chemical reactions of zirconium with aqueous solutions. Slobodov, A. A.; Kritskii, A. V.; Zarembo, V. I.; Puchkov, L. V. (St. Petersburg. Tekhnol Inst., St. Petersburg, Russia). *Zh. Prikl. Khim.* (S.-Peterburg) 1992, 65(5), 1031-41 (Russ). Existing thermodn. data (heats and entropies and free energies of formation) for Zr, ZrO₂, Zr(OH)₄, Zr-hydrated ions, monohydroxy and polyhydroxy complexes of Zr(IV) were analyzed and the conclusions were made regarding the validity of some of the values. A model is proposed for the estn. of these values and of hydrolysis characteristics (computer applicable) for homo- and heterogeneous equil. in the temp. interval 298-623 K and for pH°= 1-14.

$\Delta_f H$, $\Delta_f S$, $\Delta_f G$
at any epseem

gathered

☒ +2

ZrO₂,

Zr(OH)₄ x sp.

C.A. 1993, 19, N 12

1993

Zr

120: 40795r Spectral emissivity and optical properties at $\lambda = 632.8$ nm for liquid uranium and zirconium at high temperatures. Krishnan, Shankar; Weber, J. K. Richard; Anderson, Collin D.; Nordine, Paul C.; Sheldon, Robert I. (Intersonics, Inc., Northbrook, IL 60062-1818 USA). *J. Nucl. Mater.* 1993, 203(2), 112-21 (Eng). The spectral emissivities, refractive indexes, and extinction coeffs. of pure liq. U and Zr were measured vs. temp. by He-Ne laser polarimetry at $\lambda = 632.8$ nm. The expts. were conducted under containerless conditions using electromagnetic levitation and heating supplemented by CO₂ laser beam heating. Clean liq. metal surfaces were achieved by heating the specimens to high temps. at which oxides evapd. and nitrides decompd. Results were obtained for liq. U and Zr at 2000-2800 and 2000-2600 K, resp. and included data for liq. Zr undercooled by 125 K. The spectral emissivity of Zr was 0.345 and was independent of temp. The spectral emissivity of U increased with temp. from 0.272 at 2000 K to 0.294 at 2800 K. The melting temp. of Zr was detd. from its emissivity and apparent melting temp. to be 2125 ± 11 K, in agreement with values in the literature.

C.A. 1994, 120, N 4

Zr

1994

Cezairlyn A., McClure J.D.
et al.

(T_m)

Int. J. Thermophys. 1994,
15 (5), 993 - 1009.

(\bullet ccs. T_i ; \bar{T})

γ
 α_2 (KOHg)

1995

124: 157437z Differential thermal analysis of solid zirconium.
Zhu, Y. T.; Gao, Y. P.; Devletian, J. H.; Manthiram, A. (Oregon Graduate Institute, Los Alamos National Laboratory, Los Alamos, NM 87545 USA). *J. Test. Eval.* 1995 (Pub. 1995), 23(6), 431-5 (Eng). Several observations are made in the DTA test of solid zirconium specimens. Increasing heating rate generally increases the solid-phase transition temp. for both nondeformed and cold-worked specimens, but to a different extent. Upon cycling the specimen with a const. heating rate, the phase transition temp. decreases initially during the first few runs and then remains const. Also, holding a specimen for some time just before the phase transition during heating increases the phase transition temp. Specimen heating history and prior cold work are also found to influence the solid-phase transition temp.

(T_{t2})

C. A. 1996, 124, n12.

Zr

1996

Turcharov M.A.,
Nikolaenko I.V.

$\Delta H_{\text{solution}}$ J. Alloys Compd.
 $\delta \mu(\text{me})$ 1996, 236, 236-42.

(cell. T_c , T)

Zr

PL-30m

1996

Yoichi Takahashi,

(C_p , 300-1500K) High - Temperature
Heat - Capacity Measurement up to 1500 K by the
triple - cell DSC.

14th IUPAC



Conference

on Chemical Thermodynamics
Abstracts. OSAKA, 1998, p. 10

1997

F: α -Zr

P: 1

19Б336. Система осмий-цирконий. Os-Zr (osmium-zirconium) / Okamoto H. // J. Phase Equilibria [бывш. Bull. Alloy Phase Diagr.]. - 1997. - 18, 4. - С. 405-408. - Англ.

На основе лит. данных построена фазовая диаграмма системы осмий-цирконий при т-рах 600-3033 $^{\circ}$ С для всей области составов. Приведены данные по крист. структуре и параметрам решеток Os, Os₂Zr, OsZr, OsZr₂, Os₁₇Zr₅₄, 'альфа'-Zr, 'бета'-Zr.

Zr

1997

F: Zr

P: 1

13Б2182. Исследование фазовой стабильности циркония из первых принципов / Останин С. А., Трубицын В. Ю. // Физ. тверд. тела (С.-Петербург). - 1997. 39, 11. - С. 1933-1934. - Рус.

фазы
при высоких
давлениях

Полнопотенциальным методом LMTO вычислены полная энергия, равновесная постоянная решетки и объемный модуль наблюдаемых фаз циркония. Получено количественное согласие с экспериментом для объема и давления структурного перехода 'омега' \rightarrow 'бета'. Обсуждаются поведение и особенности электронной структуры для существующих при высоком давлении фаз Zr, а также роль осно 4p-состояний при переходе 'омега' \rightarrow 'бета'.

γ
Zr

1997

127: 127251d Calculation of the phase diagram of Zr in a simple model. Ostanin, S. A.; Trubitsin, V. Y. (Physico-Technical Institute, Izhevsk, Russia 426001). *Phys. Status Solidi B* 1997, 201(2), R9-R10 (Eng), Akademie Verlag. Lattice properties and the phase diagram of Zr were calcd. using the Debye model. The isothermal dependencies (PV) were calcd. by direct differentiation of the free energy for each structure. The calcd. structures were similar to exptl. results.

(pay. gray)

c. a. 1997, 127, N 9

1997

F: Zr

P: 1

9Б310. Связь парциальной теплоты испарения атомов Zr из ZrC[x] с энергетическими параметрами межатомных взаимодействий / Цхай В. А. // Ж. физ. химии. - 1997. - 71, 9. - С. 1563-1567. - Рус.

Приведен анализ электронно-валентной модели, используемой при расчетах ближнего порядка в распределении С-вакансий кубических карбидов металлов IVA подгруппы ($M\{ IV\} C[x]$). Показана необходимость введения поправочного параметра к энергии разрыва связи M-C для $M\{ IV\} C[x]$ при составах, близких к

стехиометрическому ($x=1$). Вычислена концентрационная зависимость парциальной теплоты испарения атомов Zr из ZrC[x] ($H(p)[M]$) по выведенной согласно модели формуле, устанавливающей связь между $H(p)[M]$, с одной стороны, и энергетическими параметрами межатомных взаимодействий, а также рассчитанными характеристиками ближнего порядка в распределении С-вакансий, с другой; результаты расчета $H(p)[M]$ количественно согласуются с экспериментом. С помощью уточненных значений энергетических параметров найдено распределение С-вакансий. Выявлено существенное влияние параметра электростатического отталкивания вакансий на степень ближнего порядка в распределении С-вакансий.

22) Салвари миссий А.И.] 1999

Ат. 91, 224 тонн предстоит досс.

$\pm 5\%$ ± 700

$$M_m = 153 \text{ Dm/2} = 13,957 \text{ кдм/мм}$$

$$\text{TCUB/3)} 13,700 \times 84 \\ \pm 4 \text{ кдм/мм}$$

разница 257, или 1,9%
(на 2% больше)

$C_p(z_{2m})$

T	$C_p(z_{2m})$	$\theta_p \text{ °C}/K \cdot 2$
2150	0,75	68,4
2200	0,66	60,2
2300	0,59	49,3
2400	0,50	45,6

График : $42,6 \pm 1,8$

Кас, тековий $0,495 \pm 38,8 \pm$

F: Zr

P: 1

133:271897 Electronic Structures of M₂₁S₈ (M = Nb, Zr) and (M,M')₂₁S₈ (M, M' = Hf, Ti; Nb, Ta) Phases and Reasons for Variations in the Metal Site Occupations. Koeckerling, Martin; Canadell, Enric

FB6-Institut fuer Synthesechemie, Gerhard-Mercator-Universitaet Duisburg 47057, Germany

Inorg. Chem., 39(19), 4200-4205 (English)

2000. The electronic structures of binary M₂₁S₈ (M = Nb, Zr) and isostructural ternary (M,M')₂₁S₈ (M, M' = Hf, Ti; Nb, Ta) phases have been studied by means of extended Huckel tight-binding band structure calcns. For the valence electron concn. in the binary group 5 metal phase Nb₂₁S₈, metal-

2000

metal bonding is optimized whereas, in the isostructural group 4 metal phase Zr₂TiS₈, metal-metal bonding levels exist above the Fermi level. However, the electronic structure anal. suggests a stable structure for M₂TiS₈ phases with group 4 metals and that (M,M')₂TiS₈ phases with mixed group 4 and group 5 metals, even if not yet reported, could well exist. In the ternary phase Nb_{6.9}Ta_{14.1}S₈, a linear relationship exists between the magnitude of the metal-metal bonding capacity (as expressed by the total metal-metal Mulliken overlap population) of each crystallog. independent metal site and the occupation of the site with the heavier metal (i.e., the element with the greater bonding capability). The situation is quite more complex in Hf_{7.5}Ti_{13.5}S₈, where the metal-metal bonding capacity of each site, differences in electronegativity between Ti and Hf, and site vol. arguments must be taken into account to understand the metal site occupation.

Zr
(fusion)

2000
Rosner-Kuhn, M; et al.,
Z. Metallkd. 2000, 91(10),
938-41

(all. Ti; $\frac{1}{2}$)

Zr

2001

Chen Q. et al.,

Cp
Do

Department of Materials
Science and Engineering
Royal Institute of Techno-
logy, Stockholm, Sweden.

Acta Metall. 49(6), 947-951.
at. (2001),

Zr

D

2001

| 135: 112596m Zirconium temperature measurements from the
melting point to 4100 K involving the use of blackbody models
in the liquid state. Korobenko, V. N.; Savvatimskii, A. I. (Institute
of High Energy Density, IVTAN (Institute of High Temperatures)
Scientific Association, Russian Academy of Sciences, Moscow, Russia
127412). *High Temp.* 2001, 39(3), 485–490 (Eng), MAIK Nauka/
Interperiodica Publishing. The temp. (2128–4100 K) dependence of
specific enthalpy E at atm. pressure is obtained under conditions of fast
(microseconds) pulsed elec. heating of zirconium foil samples. The en-
thalpy dependence of the spectral d. of radiation at the wavelength of
 $0.855 \mu\text{m}$ is measured for flat surfaces and for two blackbody models
made of zirconium foil. The temp. is calcd. by Planck's formula. The
temp. plateau on the curve of the dependence of T on E in the melting

C.A. 2001, 135, 118.

of zirconium is used for calibration, and the value of the plateau temp. is taken to be equal to the equil. m.p. of 2128 K. The blackbody models are assembled of sep. flat strips of zirconium. The objective of this study is to develop and exptl. verify a blackbody model suitable for both metals and graphite and to derive the temp. dependence of the thermal properties of liq. metals and liq. carbon at high temps. under conditions of fast pulsed heating. A Tektronix TDS 754C four-channel digital oscilloscope was used in the measurements.

лр

Om. 21243 ~~10000~~ 2001

Коробенко В.Н., Савченко
Светлана А.Л.,

(Ти,
Н_T-Н₂₉₈)

Технологика фасоких
макропаритет, 2001)
39, N3, 578-523

Zr

Lm. 41241 |

2001

(легкость,
плотность
2128-4100кг/м³)

Коробченко В.Н., Салбанчук-
ский А.Л.,

Тензодатчик высоких
температур, 2001,
39, N 4, 566-72

γ
 χ_2

Om. 41238

2001

Korolevo V.N.

Savvatinski A.I. et al.,

High Temperatures -

High Pressures, 2001

647 - 658
33)

2128-2340K

rpm

2001

$\gamma_{\text{Zr}} (\mu)$

2128-4100K

(G_p)

135: 323333m Specific heat capacity of liquid zirconium up to 4100 K. Korobenko, V. N.; Savvatimskii, A. I. (Institute of High Energy Density, IVTAN (Institute of High Temperatures) Scientific Association, Russian Academy of Sciences, Moscow, Russia 127412). *High Temp. 2001*, 39(5), 659-665 (Eng), MAIK Nauka/Interperiodica Publishing. The temp. dependence of the sp. heat capacity of liq. zirconium is investigated exptl. at atm. pressure and at temps. from 2128 to 4100 K. Measured under conditions of pulsed (microseconds) elec. heating of foil samples are the elec. resistance, the specific energy input (equal to specific enthalpy E), and the temp. (with the aid of a high-speed pyrometer and

C.A. 2001, 135, N22

solid-state light guide). Use is made of the specific enthalpy dependence of temp., previously obtained for two options of the blackbody model, developed for investigation of liq. carbon. The first one of these models is a square tube made up of four zirconium strips, with the light guide introduced at the tube end. The second model is made up of two strips of zirconium, with the light guide introduced on the side into the gap between the two strips (two-strip blackbody model). The temp. dependence of the heat capacity of liq. zirconium up to 4100 K is given for both blackbody models. The random and systematic errors of the measured quantities are given. The values of sp. heat capacity are compared with the available exptl. data for the near melting stage of the liq. zirconium, obtained using a steady-state technique.

Zr

Лон. 41236, 42049 2001

Корогичко В.Н., Савва-
пимекий А.Н.,

(Lp, 2128-4100K) Тензорица шестокая
Температур, 2001, 39, N5, 712-719

Y
Zr

(DM-40729)

2001

Michael Rössner-Kiehl*

et al.,

Hf-Ho,

Alloys and
Alloys, 1998

Gd Compounds, 2001, 816,



175-178

2001

γ
 α

(ΔR_{tr})
 $\alpha \rightarrow \beta$

135: 323334n Investigation of the heat of polymorphous transformation in zirconium by the method of pulsed electric heating.
Peletskii, V. E.; Petrova, I. I.; Samsonov, B. N. (Institute of High Energy Density, IVTAN (Institute of High Temperatures) Scientific Association, Russian Academy of Sciences, Moscow, Russia). *High Temp.* 2001, 39(5), 666–669 (Eng), MAIK Nauka/Interperiodica Publishing. Results are given of the detn. of the heat of polymorphous transformation in zirconium during resistive elec. heating of specimens at rates from 10^3 to 10^4 K/s. A comparative anal. of the time dependences of temp. and resistance is used to demonstrate that the beginning and completion of phase rearrangement occur non-simultaneously over the entire working length of the specimen. A procedure is suggested for obtaining refined data on the thermal effect, based on the calcn. of the fraction of the working section, which has completely passed over to a new phase during a time interval identified by the heating thermogram. The mean value of the heat of α - β phase transition obtained by this procedure is 55.4 J/g. The obtained data are compared with those available in the literature.

C-A. 2001, 135, N22

β -Zr
Rosner-Kuhn M., et al.²⁰⁰¹,

J. Alloys Compd.
2001, 316(1-2), 175-178

(Al, Mn, Ti,
Nb, ...)

(all. β - Ti; I)

Zr

Om. 41237

2002

Korobenko V.N., Agrenat
M.B. et al.

relaxation
processes
in
 μ
(2128-4000K)

Internat. journal of
Thermophysics, 2002,
23, No. 1, 307-318

Zr

42249

2003

B. N. Коробенко, A. V. Савватиновский

Свойства зернистого циркония
до 4100 K.

Физ. хара. 2003 г. Г.77. №10 1742-1442

Zr

4678

Wedekind E., Lewis S.J.

1908

v

Porphyritic

~~1908~~

Proc. Amer. Chem. Soc.,
1908, 24, 170.
P.

125

F. g. Zr (Üb.; m).